

Š K O D A , koncernový podnik, PLZEŇ
ÚSTŘEDNÍ VÝZKUMNÝ ÚSTAV
Výzkum strojírenský

Duševní majetek k.p.ŠKODA - nelze užít bez jeho souhlasu.

Doc.RNDr. Jindřich Nečas DrSc MDT: 519.3:539.383
Ing.RNDr. Ivan Hlaváček CSc
RNDr. Jaroslav Haslinger CSc
RNDr. Jan Mandel CSc
RNDr. Tomáš Roubíček
RNDr. Štěpán Zámečník CSc

O p t i m a l i z a c e t e r m o e l a s t i c k ý c h
s y s t é m ů
Část II.

Zak. č. : 715-092-2141/7

Odpovědný pracovník: RNDr. L. Prášek CSc
Vedoucí střediska: Ing. V. Hauer CSc
Vedoucí odboru: Ing. M. Balda CSc
Ředitel ústavu Ing. Z. Kletečka CSc

Číslo zprávy: Sz 4405 V
Druh zprávy: průběžná
Číslo kopie: 8

Stran: 74

Cbrázků: 8

Příloh: 0

V Plzni dne 15.12.1984

A n o t a c e

MDT: 519!3:539.383 Sz 4405 V
NEČAS Jindřich, doc., RNDr., DRSc VÝZK-Z

HLAVÁČEK Ivan, ing., RNDr., CSc

HASLINGER Jaroslav, RNDr., CSc

MANDEL Jan, RNDr., CSc

ROUBÍČEK Tomáš, RNDr.,

ZÁMEČNÍK Štěpán, RNDr., CSc

Optimalizace termoelastických systémů.

Fízen, ŠKODA/ÚVZÚ-VS, 1984

74 stran, 8 obrázků

Teoretická část obsahuje důkaz existence řešení spojitéch a diskrétních modelů úlohy, optimální polohy a velikosti průměrů kruhových otvorů. Dále obsahuje teoretickou studii konvergence diskrétních modelů úlohy identifikace tepelných toků. V praktické části je identifikační úloha approximována pomocí MKF. Je sestaven a odladěn program pro výpočet identifikační úlohy.

OBSAH

1. Existence řešení úlohy optimalizace kruhových otvorů	4
2. Existence řešení přibližné úlohy optimalizace	22
3. Aproximace úlohy identifikace - studium konvergence diskrétních modelů	39
4. Řešení úlohy identifikace teplných toků na počítači	49
4.1 Formulace úlohy	49
4.2 Řešení metodou konečných prvků	51
4.3 Popis programu	57
4.4 Soubory	58
4.5 Programové moduly	58
4.6 Omezení programu	63
4.7 Modelový příklad a ukázka zadávání dat	63
Literatura	74

1. Existence řešení úlohy optimalizace kruhových otvorů

V této kapitole ukážeme, že existuje alespoň jedno řešení úlohy optimalizace kruhových otvorů, definované podobně jako v kapitole 2.1 výzkumné zprávy [1]. Na rozdíl od formulace (11) - (15) v [1] budeme zde uvažovat mírně modifikovanou úlohu.

Nechť je dáno (viz obr. 1)

- oblast Ω_0
- funkce g na $\partial\Omega_0$ udávající tepelný tok vyvolaný odlitkem, vypočtená z úlohy identifikace (viz [1] - kap. 1)
- okrajové hodnoty ϑ_0 na části hranice $\Gamma_0 \subset \partial\Omega_0$, kterou tvoří sjednocení kružnic - řezů chladícími kanály ($\vartheta_0 = \text{konst.}$)
- výchozí konfigurace polohy a velikosti otvorů, tj. oblast Ω_{α_0} ,
- materiálové konstanty $\alpha, \lambda, \mu, k_0, \alpha$,
- množina $U_{ad} \subset \mathbb{R}^{3N_0}$ přípustných hodnot návrhových parametrů α , kterou tvoří polohy středů a velikosti poloměrů kruhových otvorů.

Označme Ω_α oblast s vyňatými kruhovými otvory a vyňatou podoblastí Ω_0 .

Stavový problém má 2 části:

1. Úlohu stacionárního vedení tepla:

najít funkci $\vartheta \in V(\Omega_\alpha)$, kde

$$V(\Omega_\alpha) = \{v \in H^1(\Omega_\alpha) : v = 0 \text{ na } \Gamma_0\},$$

pro kterou platí

$$\vartheta - \vartheta_0 \in V(\Omega_\alpha),$$

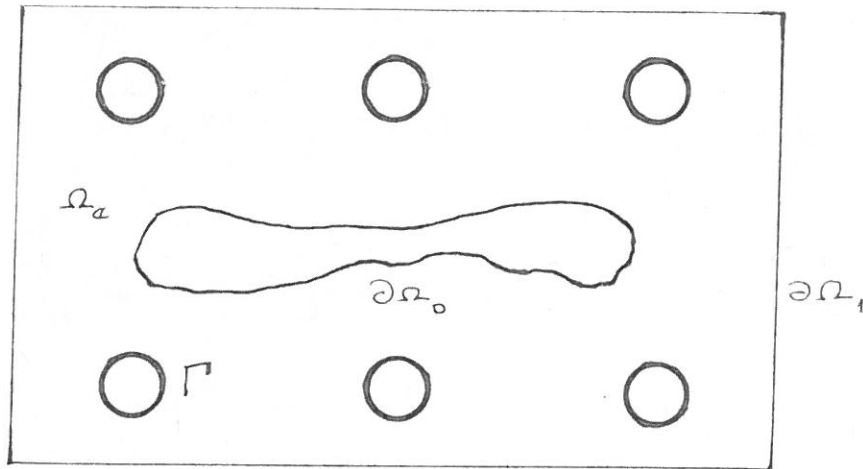
$$(1) \int_{\Omega_\alpha} \alpha \nabla \vartheta \cdot \nabla w dx + \int_{\partial\Omega_1} \alpha \vartheta w ds = \int_{\partial\Omega_0} g w ds \quad \forall w \in V(\Omega_\alpha)$$

Zde $\partial\Omega_1$ je "vnější" hranice, tedy hranice obdélníka Ω_1 .
Tedy

$$(2) \quad \partial\Omega_a = \partial\Omega_0 \cup \partial\Omega_1 \cup \Gamma_a,$$

kde pouze Γ_a závisí na parametrech $a \in U_{ad}$, zatímco $\partial\Omega_0$ a $\partial\Omega_1$ jsou na a nezávislé.

Dále je $\vartheta_0 \in H^1(\Omega_a)$ funkce, jejíž stopa na Γ_a je rovna zadaným hodnotám. Bez újmy na obecnosti budeme předpokládat, že stopa ϑ_0 na $\partial\Omega_1 \cup \partial\Omega_0$ je rovna nule.



Obr. 1

2. Statickou úlohu teorie pružnosti - rovinné deformace - s daným teplotním polem.

Nechť $\Gamma_1 \subset \partial\Omega_1$ je úsečka kladné míry (délky),

$$(3) \quad V_p = \left\{ u \in [H^1(\Omega_a)]^2 : \int_{\Gamma_1} u \, ds = 0 \right.,$$

$$\left. \int_{\Gamma_1} (x_1 u_2 - x_2 u_1) \, ds = 0 \right\}.$$

Hledáme vektorovou funkci posunutí $u \in V_p(\Omega_\alpha)$ takovou, že

$$(4) \quad \int_{\Omega_\alpha} [\lambda \operatorname{div} u \operatorname{div} v + 2\mu \varepsilon_{ij}(u) \varepsilon_{ij}(v)] dx = \\ = \int_{\Omega_\alpha} k_0 \vartheta \operatorname{div} v dx \quad \forall v \in V_p(\Omega_\alpha).$$

Zde ϑ je funkce teploty - řešení úlohy (1).

Definujme (srovnej (19), (20) v [1])

$$(5) \quad U_{ad} = \left\{ \boldsymbol{\alpha}^{(m)} = (S_1^{(m)}, S_2^{(m)}, g_m)_{m=1}^{N_0} : \right.$$

$$g_m \geq g_{min} > 0,$$

$$n^{jm} \cdot S^{(m)} + d^{jm} + g_m \leq 0, \quad m = 1, \dots, N_0, \\ j = 1, \dots, J_m$$

$$\sum_{m=1}^{N_0} g_m^2 \leq c_0/\pi \}$$

(kde g_{min}, c_0, d^{jm} a n^{jm} jsou dány)

a účelový funkcionál (viz [1] - (13), (14))

$$(6) \quad j(\alpha, u(\alpha)) = (\operatorname{mes} \Omega_\alpha)^{-1} \int_{\Omega_\alpha} I^2(\alpha) dx, \quad I = I(u(\alpha)).$$

Úloha optimalizace zní:

najít $\alpha \in U_{ad}$ takový, že

$$(7) \quad j(\alpha, u(\alpha)) \leq j(\gamma, u(\gamma)) \quad \forall \gamma \in U_{ad},$$

přičemž $u(\alpha)$ značí řešení stavové úlohy (4) na oblasti Ω_α a $u(\gamma)$ na oblasti Ω_γ .

Věta 1.1. Úloha optimalizace (1) - (7) má alespoň jedno řešení.

Důkaz bude založen na několika pomocných lemmatech.

V dalším budeme označovat

$$\Omega = \Omega_1 \cup \overline{\Omega}_0.$$

Lemma 1.1. Budiž $u \in V(\Omega_\alpha)$. Pak platí zobecněná Friedrichsova nerovnost

$$(8) \quad \|u\|_{1,\Omega_\alpha}^2 \leq C \|u\|_{1,\Omega_\alpha}^2 \quad \forall \alpha \in U_{ad},$$

kde konstanta C nezávisí na α a na pravé straně je seminorma z prvních derivací.

Důkaz. Rozdělme oblast Ω_α na N_0 podoblastí takových, že

$$\Omega_{\alpha m} \supset \Omega_m, \quad m = 1, \dots, N_0$$

(viz I.2 a obr. 2 zprávy [1]).

Každá z nich tedy obsahuje právě jeden otvor.

Uvažujme libovolnou z oblastí $\Omega_{\alpha m}$ a umístíme polární souřadnice do středu $S^{(m)}$ kruhu K_m .

Pak tedy

$$\Omega_{\alpha m} = \{(r, \varphi) : 0 \leq \varphi \leq 2\pi, 0 \leq r \leq R(\varphi)\}.$$

Můžeme psát

$$\int_{\Omega_{\alpha m}} |\nabla u|^2 dx = \int_0^{2\pi} d\varphi \int_{S_m} \left[(u_r)^2 + \frac{1}{r^2} (u_\varphi)^2 \right] r dr,$$

kde indexy r, φ značí parciální derivace.

Nechť $u \in C^\infty(\overline{\Omega}_\alpha) \cap V(\Omega_\alpha)$

Pak

$$u(r_1, \varphi_1) = \int_{S_m} u_r(r_1, \varphi_1) dr_1$$

$$u^2(r_1, \varphi_1) \leq (r_1 - g_m) \int_{g_m}^{r_1} u_r^2 dr \leq R_o \int_{g_m}^{R(\varphi_1)} u_r^2(r_1, \varphi_1) dr,$$

kde

$$R_o = \max_m (\max_\varphi R(\varphi)) \leq \max_m (\text{diam } \Omega_{am}) < \infty.$$

Integraci dostaneme

$$\begin{aligned} \|u\|_{0, \Omega_{am}}^2 &= \iint_0^{2\pi} \int_{g_m}^{R(\varphi_1)} u^2(r_1, \varphi_1) r_1 dr_1 d\varphi_1 \leq \\ &\leq R_o \int_0^{2\pi} d\varphi_1 \int_{g_m}^{R(\varphi_1)} r_1 \left(\int_{g_m}^{R(\varphi_1)} u_r^2(r_1, \varphi_1) dr \right) dr_1 \leq \\ &\leq R_o \int_0^{2\pi} d\varphi_1 \frac{1}{2} (R_o^2 - g_m^2) \int_{g_m}^{R(\varphi_1)} u_r^2(r_1, \varphi_1) dr \leq \\ &\leq \frac{1}{2} R_o^3 \int_0^{2\pi} d\varphi_1 \int_{g_m}^{R(\varphi_1)} u_r^2(r_1, \varphi_1) dr \leq \\ &\leq \frac{1}{2} R_o^3 g_m^{-1} \int_0^{2\pi} \int_{g_m}^{R(\varphi_1)} u_r^2(r_1, \varphi_1) r dr d\varphi_1 \leq \\ &\leq \frac{1}{2} R_o^3 g_m^{-1} \int_{\Omega_{am}} |\nabla u|^2 dx. \end{aligned}$$

Přičteme-li na obou stranách čtverec seminormy, odvodíme

$$(9) \quad \|u\|_{1,\Omega_{\text{ad}}}^2 \leq \left(1 + \frac{1}{2} R_0^3 S_{\min}^{-1}\right) \|u\|_{1,\Omega_{\text{ad}}}^2.$$

Odhad (8) nyní vyplývá sečtením odhadů (9) přes všechna m pro nekonečně hladká u . Z hustoty množiny takových funkcí ve $V(\Omega_\epsilon)$ odvodíme (c) i pro $u \in V(\Omega_\epsilon)$. Q.E.D.

Nechť nyní $\{\alpha_n\}$ je posloupnost parametrů $\alpha_n \in U_{\text{ad}}$ taková, že

$$(10) \quad \alpha_n \rightarrow \alpha \quad R^{3N_0}$$

Označme v dalším $\Omega_{\alpha_n} \equiv \Omega_n$ a řešení první části stavové úlohy (1)

$$(11) \quad \int_{\Omega_n} \alpha \nabla t \cdot \nabla w dx + \int_{\partial\Omega_n} \alpha t \vartheta_0 w ds = \int_{\partial\Omega_0} q w ds -$$

$$- \int_{\Omega_n} \alpha \nabla \vartheta_0 \cdot \nabla w dx \quad \forall w \in V(\Omega_n)$$

$$t(\alpha_n) = t^n \in V(\Omega_n).$$

Dosadíme-li sem $w = t^n$ a užijeme Lemmatu 1, dostaneme (využíváme i toho, že koeficient $\alpha_i \geq \alpha \geq \alpha_0 > 0$)

$$(12) \quad \|t^n\|_{1,\Omega_n}^2 \leq C \|t^n\|_{1,\Omega_n}^2 \leq \frac{C}{\alpha_0} \int_{\Omega_n} \alpha |\nabla t^n|^2 dx \leq$$

$$\leq \tilde{C} (\|q\|_{0,\partial\Omega_0} \|t^n\|_{0,\partial\Omega_0} + \alpha_1 \|\vartheta_0\|_{1,\Omega_n} \|t^n\|_{1,\Omega_n}).$$

Můžeme bez újmy obecnosti předpokládat, že ϑ_0 je konstantní v nějakém okolí každého z kruhů K_k , $k=1, \dots, N_0$, limitní oblasti Ω_α . Potom jestliže definujeme pro přirozená $m = 1, 2, \dots$ oblasti

$$(13) \quad G_m = \left\{ x \in \Omega_\alpha : |x - S^{(k)}| > g_k + \frac{1}{m}, \quad k=1, \dots, N_0 \right\}$$

můžeme psát pro nějaké pevné m

$$\text{supp } \nabla \vartheta_0 \subset G_m,$$

tedy

$$(14) \quad |\vartheta_0|_{1, \Omega_n} = |\vartheta_0|_{1, G_m} = \text{const} \quad \forall n > n_0(m),$$

je-li

$$\bar{G}_m \subset \Omega_n \quad \forall n > n_0(m).$$

Označme \tilde{t}^n prodloužení funkce t^n do oblasti $\Omega - \bar{\Omega}_n$ nulou. Potom zřejmě pro stopy na $\partial \Omega_0$ platí

$$(15) \quad \|t^n\|_{0, \partial \Omega_0} = \|\tilde{t}^n\|_{0, \partial \Omega_0} \leq C \|\tilde{t}^n\|_{1, \Omega}$$

kde C nezávisí na n . Můžeme dosadit (14) a (15) do (12). Tak dostaneme

$$\|\tilde{t}^n\|_{1, \Omega}^2 \leq C_1 \|\tilde{t}^n\|_{1, \Omega}$$

a odtud

$$(16) \quad \|\tilde{t}^n\|_{1, \Omega} = \|t^n\|_{1, \Omega_n} \leq C_1 \quad \forall n > n_0(m).$$

Hledáme nyní řešení druhé variační stavové rovnice (4),

$$\text{t.j. } u \in V_p(\Omega_\alpha),$$

$$(17) \int_{\Omega_\alpha} \bar{\epsilon}_{ij}(u) \epsilon_{ij}(v) dx = \int_{\Omega_\alpha} k_0 (\varphi_0 + t) \operatorname{div} v dx$$

$$\forall v \in V_p(\Omega_\alpha).$$

Označme v dalším $(t(\alpha), u(\alpha))$

na oblasti $\Omega_\alpha, \alpha \in U_{ad}$.

řešením úlohy (11), (17)

Dokážeme

Lemma 1.2. Nechť $\{\alpha_n\}$ je posloupnost taková, že

$$\alpha_n \in U_{ad}, \alpha_n \rightarrow \alpha \quad \in \mathbb{R}^{3N_0}.$$

Pak existuje podposloupnost $\{\alpha_k\}$ taková, že

$$(18) \quad \tilde{F}(\alpha_k) \rightarrow F(\alpha) \quad (\text{slabě}) \text{ v } H^1(\Omega),$$

$$(19) \quad u(\alpha_k) \rightarrow u(\alpha) \quad (\text{slabě}) \text{ v } [H^1(G_m)]^2$$

pro každé dostatečně velké m .

Důkaz. Pišme pro stručnost $u(\alpha_n) \equiv u^n$,

$$\left(\int_{\Omega_n} \sum_{i,j=1}^2 \epsilon_{ij}^2(u^n) dx \right)^{1/2} = \|u^n\|_{\epsilon, \Omega_n}.$$

Z(17) plyne pro $v = u^n$

$$2\mu_0 \int_{\Omega_n} \sum_{i,j=1}^2 \epsilon_{ij}^2(u^n) dx \leq \int_{\Omega_n} \bar{\epsilon}_{ij}(u^n) \epsilon_{ij}(u^n) dx =$$

$$= \int_{\Omega_n} k_0 (\varphi_0 + t^n) \operatorname{div} u^n dx \leq$$

$$\leq C (\|\tilde{\sigma}_0\|_{0,\delta} + \|\tilde{t}^n\|_{0,\delta}) \|\varepsilon_{11}(u^n) + \varepsilon_{22}(u^n)\|_{0,\Omega_n}$$

kde $\tilde{\sigma}_0$ je konstantní prodloužení funkce σ_0 do kruhu $K_k, k=1, \dots, N_0$. Využijeme-li odhadu (16), máme odtud

$$2u_0 \|u^n\|_{\varepsilon, \Omega_n}^2 \leq \tilde{C} \|u^n\|_{\varepsilon, \Omega_n},$$

tedy

$$(20) \quad \|u^n\|_{\varepsilon, \Omega_n} \leq C_3$$

pro všechna dostatečně velká n .

Uvažujme pevnou oblast G_m . Víme, že existuje $n_0(m)$ takové, že

$$n > n_0(m) \Rightarrow G_m \subset \Omega_n.$$

Potom

$$(21) \quad \|u^n\|_{\varepsilon, G_m} \leq \|u^n\|_{\varepsilon, \Omega_n} \leq C_3.$$

Existuje konstanta C_1 , tak, že platí Kornova nerovnost (viz např. [2])

$$(22) \quad \|u^n\|_{\varepsilon, G_m} \geq C_1 \|u^n\|_{1, G_m}$$

(C_1 ovšem závisí na m). Vskutku, $u^n \in V_p(G_m)$, protože $u^n \in V_p(\Omega_n)$.

Z (21), (22) plyne, že pro dost velká n je

$$(23) \quad \|u^n\|_{1, G_m} \leq C_1^{-1} C_3 = C_2.$$

Protože $V_p(G_m)$ je reflexívni Banachův prostor, existuje prvek $u^{(m)} \in [H^1(G_m)]^2$ a podposloupnost $\{u^{n_i}\}$ taková, že

$$(24) \quad u^{n_i}|_{G_m} \rightarrow u^{(m)} \quad (\text{slabě}) \vee [H^1(G_m)]^2$$

pro $n_i \rightarrow \infty$.

Pro G_{m+1} dostaneme analogické tvrzení, jestliže vybereme vhodnou podposloupnost $\{u^{n_2}\}$ posloupnosti $\{u^{n_1}\}$, atd.

Uvažujme diagonální podposloupnost $\{u^{D_n}\}$ všech posloupností $\{u^{n_1}\}, \{u^{n_2}\}, \dots$

Existuje funkce $u \in V_p(\Omega_\epsilon)$ taková, že

$$(25) \quad u^{D_n} \rightarrow u|_{G_m} \quad (\text{slabě}) \vee [H^1(G_m)]^2 \forall m.$$

Vskutku, existence zobecněných derivací $\partial u_j / \partial x_i$ plyně z definice Sobolevova prostoru.

Kromě toho,

$$(26) \quad \|u^{(m)}\|_{1,G_m} \leq C_z \quad \forall m,$$

neboť koule v $[H^1(G_m)]^2$ je slabě uzavřená a platí (23).

Pro všechna kladná celá m a k platí na G_m skoro všude

$$(27) \quad u^{(m)} = u^{(m+k)}|_{G_m}.$$

Vskutku, nechť pro dvojici $\{m, k\}$ neplatí (26) právě na množině $E \subset G_m$, mas $E > 0$.

Uvažujme dvě posloupnosti hodnot funkcionálů:

$$\langle \varphi, u^{D_n} \rangle_r = \int_{G_r} \varphi \cdot u^{D_n} dx,$$

kde

$$r = m \quad \text{a} \quad r = m+k, \quad n \rightarrow \infty,$$

$$\varphi \in [L^2(\Omega_\epsilon)]^2, \quad \text{supp } \varphi \subset E.$$

Zřejmě

$$E \subset G_m^* \subset G_{m+k},$$

tedy

$$\langle \varphi, u^{D_n} \rangle_m = \langle \varphi, u^{D_n} \rangle_{m+k} = \int_E \varphi \cdot u^{D_n} dx \quad \forall n,$$

limitním přechodem $n \rightarrow \infty$ plyne

$$\langle \varphi, u^{(m)} \rangle_m = \langle \varphi, u^{(m+k)} \rangle_{m+k},$$

neboli

$$\int_{\Omega_\epsilon} \varphi \cdot (u^{(m)} - u^{(m+k)}) dx = 0.$$

Zvolíme-li $\varphi = u^{(m)} - u^{(m+k)} \Big|_{G_m}$, dojde ke sporu s předpokladem.

Můžeme tedy definovat

$$(28) \quad u \Big|_{G_m} = u^{(m)}.$$

Z (26) vyplývá, že

$$\|u\|_{1,\Omega_\epsilon}^2 = \lim_{m \rightarrow \infty} \|u^{(m)}\|_{1,G_m}^2 = C_2^2 < \infty.$$

Funkce u patří do $V_p(\Omega_\epsilon)$. Stačí k tomu ověřit podmínky na Γ_1 . V důsledku (28), (27) však pro stopy na Γ_1 platí

$$u \Big|_{\Gamma_1} = u^{(m)} \Big|_{\Gamma_1}$$

a podprostor $V_p(G_m)$ je slabě uzavřený v $[H^1(G_m)]^2$.

Protože všechny

$$u^{n_i}|_{G_m} \in V_p(G_m),$$

ze (24) vyplývá, že $u^{(m)}$ splňuje podmínky na Γ_1 .

Tím je (25) dokázáno.

V důsledku omezenosti posloupnosti $\{\tilde{t}^n\}$ (16) existuje podposloupnost (označíme ji stejným symbolem) a prvek $\tilde{E} \in H^1(\Omega)$ takové, že

$$(29) \quad \tilde{t}^n \rightharpoonup \tilde{E} \quad (\text{slabé}) \text{ v } H^1(\Omega).$$

Nechť je dáno $w \in V(\Omega_\alpha)$. Existuje posloupnost

$$\{w_\alpha\}, \alpha \rightarrow 0, w_\alpha \in C^\infty(\Omega_\alpha) \cap V(\Omega_\alpha)$$

taková, že

$$\text{supp } w_\alpha \cap \partial K_k = \emptyset, \quad k = 1, \dots, N,$$

$$w_\alpha \rightarrow w \quad \text{v } H^1(\Omega_\alpha) \quad \text{pro } \alpha \rightarrow 0.$$

Uvažujme libovolné pevné w_α . Zřejmě $w_\alpha \in V(\Omega_n)$ pro $n > n_1(\alpha)$, protože $\text{supp } w_\alpha \subset \Omega_n$. Platí tedy

$$\begin{aligned} \int_{\Omega} a \nabla \tilde{t}^n \cdot \nabla w_\alpha dx &= \int_{\Omega} a \nabla \tilde{t}^n \cdot \nabla w_\alpha dx = \\ &= \int_{\partial \Omega_0} g w_\alpha ds - \int_{\Omega_n} a \nabla \tilde{t}^n \cdot \nabla w_\alpha dx - \int_{\partial \Omega_1} \tilde{E} w_\alpha ds. \end{aligned}$$

Užijeme-li při limitním přechodu $n \rightarrow \infty$ (29), dostaneme

$$\begin{aligned} (30) \quad \int_{\Omega} a \nabla \tilde{E} \cdot \nabla w_\alpha dx &= \int_{\partial \Omega_0} g w_\alpha ds - \int_{\Omega_\alpha} a \nabla \tilde{t}^n \cdot \nabla w_\alpha dx - \\ &\quad - \int_{\partial \Omega_1} \tilde{E} w_\alpha ds. \end{aligned}$$

Ukážeme nyní, že

$$(31) \quad \tilde{E} = 0 \quad v \quad \Omega = \Omega_\epsilon.$$

Vskutku, nechť $\tilde{E} \neq 0$ na množině $E \subset \Omega = \Omega_\epsilon$,
kde $\operatorname{mas} E > 0$. Označme K_{k_ϵ} kruh o středu $S^{(k)}_1$
ale se zmenšeným poloměrem $R_k - \epsilon$.

Budíž

$$\Omega_\epsilon = \Omega \cap \bigcup_{k=1}^{N_0} K_{k_\epsilon}.$$

Potom zřejmě existuje $n_0(\epsilon)$ takové, že

$$\bar{\Omega}_n \subset \Omega_\epsilon \quad \forall n > n_0(\epsilon),$$

tedy $\tilde{E}^n = 0$ uvnitř K_{k_ϵ} , $k = 1, \dots, N_0$.

Existuje dostatečně malé $\epsilon > 0$ takové, že

$$(32) \quad \operatorname{mas} [(\Omega - \Omega_\epsilon) \cap E] > 0.$$

Pak můžeme psát

$$(33) \quad \int_{\Omega} (\tilde{E}^n - \tilde{E})^2 dx \geq \int_{E \cap (\Omega - \Omega_\epsilon)} (\tilde{E}^n - \tilde{E})^2 dx =$$

$$= \int_{E \cap (\Omega - \Omega_\epsilon)} (\tilde{E})^2 dx > 0.$$

Na druhé straně však z konvergence (29) a z Rellichovy věty plyne, že

$$\tilde{E}^n \rightarrow \tilde{E} \quad v \quad L^2(\Omega),$$

což je spor s (33). Tedy je $\tilde{E} = 0$ v $\Omega - \Omega_\epsilon$, a protože $\tilde{E} \in H^1(\Omega)$, máme

$$t \equiv \tilde{E}|_{\Omega_\epsilon} \in V(\Omega_\epsilon).$$

Dosadíme-li do (30), máme (pro libovolné α)

$$\int_{\Omega_\epsilon} \alpha \nabla t \cdot \nabla w_\alpha dx = - \int_{\partial\Omega_1} \alpha t w_\alpha ds + \int_{\partial\Omega_0} \varphi w_\alpha ds - \int_{\Omega_\epsilon} \alpha \nabla \vartheta_0 \cdot \nabla w_\alpha dx.$$

V limitě pro $\alpha \rightarrow 0$ odvodíme, že t splňuje stavovou rovnici (11) na oblasti Ω_ϵ , tzn. $t = t(\epsilon)$,

$$(34) \quad \tilde{E}^n \rightarrow \tilde{E}(\epsilon) \quad (\text{slabě}) \quad v \quad H^1(\Omega).$$

Nechť nyní $v \in V_p(\Omega_\epsilon)$. Když prodloužíme funkci v (např. ve smyslu Babiče-Nikolského - viz [3]) na oblast Ω , dostaneme, že

$$\tilde{v}|_{\Omega_n} \in V_p(\Omega_n) \quad \forall n,$$

a platí

$$(35) \int_{\Omega_n} [\tau_{ij}(u^n) \varepsilon_{ij}(\tilde{v}) dx - k_0 \tilde{E}^n \operatorname{div} \tilde{v}] dx = \\ = \int_{\Omega_n} k_0 \vartheta_0 \operatorname{div} \tilde{v} dx.$$

Uvažujme diagonální podposloupnost $\{u^{D_n}\}$ a libovolnou oblast G_m . Máme (pak pro dost velké D_n)

$$(36) \int_{\Omega_{D_n}} \tau_{ij}(u^{D_n}) \varepsilon_{ij}(\tilde{v}) dx = \int_{G_m} \tau_{ij}(u^{D_n}) \varepsilon_{ij}(\tilde{v}) dx + \\ + \int_{\Omega_{D_n} - \Omega_\epsilon} \tau_{ij}(u^{D_n}) \varepsilon_{ij}(\tilde{v}) dx + \int_{(\Omega_\epsilon - G_m) \cap \Omega_{D_n}} \tau_{ij}(u^{D_n}) \varepsilon_{ij}(\tilde{v}) dx.$$

Podle (25) platí, že

$$\lim_{D_n \rightarrow \infty} \int_{G_m} \tau_{ij}(u^{D_n}) \varepsilon_{ij}(\tilde{v}) dx = \int_{G_m} \tau_{ij}(u) \varepsilon_{ij}(\tilde{v}) dx.$$

Dále je

$$\left| \int_{\Omega_{D_n} - \Omega_\epsilon} \tau_{ij}(u^{D_n}) \varepsilon_{ij}(\tilde{v}) dx \right| \leq C \|u^{D_n}\|_{\varepsilon, \Omega_{D_n}} \|\tilde{v}\|_{1, \Omega_{D_n} - \Omega_\epsilon},$$

$$\lim_{D_n \rightarrow \infty} (\text{mes}(\Omega_{D_n} - \Omega_\epsilon)) = 0$$

$$(37) \|u^{D_n}\|_{\varepsilon, \Omega_{D_n}} \leq C_3$$

pro dostatečně velká n v důsledku (20).

Druhý člen na pravé straně (36) tedy konverguje pro $D_n \rightarrow \infty$ k nule.

Podobně pomocí (37) ukážeme, že

$$(38) \left| \int_{(\Omega_\epsilon - G_m) \cap \Omega_{D_n}} \tau_{ij}(u^{D_n}) \varepsilon_{ij}(\tilde{v}) dx \right| \leq C_0 \|\tilde{v}\|_{1, \Omega_\epsilon - G_m}$$

Pak není těžké z (36), (37), (38) odvodit (např. postupně pomocí \limsup a \liminf) levé strany)

$$(39) \lim_{D_n \rightarrow \infty} \int_{\Omega_{D_n}} \tau_{ij}(u^{D_n}) \varepsilon_{ij}(\tilde{v}) dx = \int_{\Omega_\epsilon} \tau_{ij}(u) \varepsilon_{ij}(\tilde{v}) dx$$

Dále platí pro $n \rightarrow \infty$ na základě (34), (31)

$$(40) \int_{\Omega_{D_n}} k_0 t^{D_n} \operatorname{div} \tilde{v} dx = \int_{\Omega_\epsilon} k_0 \tilde{E}^{D_n} \operatorname{div} \tilde{v} dx \rightarrow \int_{\Omega_\epsilon} k_0 \tilde{E}(\epsilon) \operatorname{div} \tilde{v} dx = \\ = \int_{\Omega_\epsilon} k_0 t(\epsilon) \operatorname{div} v dx.$$

Konečně

$$(41) \int_{\Omega_{D_n}} k_0 \tilde{\sigma}_0 \operatorname{div} \tilde{v} dx \rightarrow \int_{\Omega_\epsilon} k_0 \tilde{\sigma}_0 \operatorname{div} v dx.$$

Užijeme-li v rovnici (35) výsledků (39), (40), (41), dostaneme

$$\int_{\Omega_\epsilon} \tau_{ij}(u) \varepsilon_{ij}(v) dx = \int_{\Omega_\epsilon} k_0 t(\epsilon) \operatorname{div} v dx + \int_{\Omega_\epsilon} k_0 \tilde{\sigma}_0 \operatorname{div} v dx.$$

Z jednoznačnosti řešení na podprostoru $V_p(\Omega_\epsilon)$ vyplývá, že $u = u(\epsilon)$.

Tvrzení Lemmatu je pak bezprostředním důsledkem (34) a (25).

Q.E.D.

Lemma 13. Nechť $a_n \rightarrow \alpha \in R^{3N_0}$, $a_n \in U_{ad}$.

Pak existuje podposloupnost $\{\alpha_k\}$ taková, že

$$\liminf_{k \rightarrow \infty} j(\alpha_k, u(\alpha_k)) \geq j(\alpha, u(\alpha)).$$

Důkaz. Pišme

$$I^2(\pi(u)) = Q(u)$$

(viz [1] - (14)).

Je-li

$$\lambda \geq 0, \mu \geq \mu_0 > 0 \quad \text{s.v.} \quad \text{v oblasti } \Omega,$$

snadno odvodíme, že

$$(42) \quad Q(u) \geq \mu_0 \sum_{i,j=1}^4 \varepsilon_{ij}^2(u) \geq 0$$

a Q je kvadratická funkce ve složkách deformace ε_{ij} .

Můžeme tedy psát při $u^k \equiv u(\alpha_k)$, $\Omega_{\alpha_k} \equiv \Omega_k$:

$$(43) \quad \int_{\Omega_k} (\alpha_k, u^k) = \frac{1}{\text{mes } \Omega_k} \int_{\Omega_k} Q(u^k) dx \geq \frac{1}{\text{mes } \Omega_k} \int_{G_m} Q(u^k) dx = \\ = \frac{1}{\text{mes } \Omega_\alpha} \int_{G_m} Q(u^k) dx + \left(\frac{1}{\text{mes } \Omega_k} - \frac{1}{\text{mes } \Omega_\alpha} \right) \int_{G_m} Q(u^k) dx.$$

První člen na pravé straně (43) je slabě zdola polospojitý funkcionál na $[H^1(G_m)]^2$ (neboť je konvexní díky (42) a diferencovatelný).

Z Lemmatu 1.2 tedy plyne

$$(44) \quad \liminf_{k \rightarrow \infty} \frac{1}{\text{mes } \Omega_\alpha} \int_{G_m} Q(u^k) dx \geq \frac{1}{\text{mes } \Omega_\alpha} \int_{G_m} Q(u(\alpha)) dx.$$

Z nerovnosti (20) odvodíme dále, že pro všechna dost velká k platí

$$\left| \int_{G_m} Q(u^k) dx \right| \leq \left| \int_{\Omega_k} Q(u^k) dx \right| \leq C \left| u^k \right|_{\varepsilon_{ij}, \Omega_k}^2 \leq C C_3^2.$$

Poslední člen na pravé straně (43) lze tedy odhadnout v absolutní hodnotě výrazem

$$C_1 \left| \frac{1}{\text{mes } \Omega_k} - \frac{1}{\text{mes } \Omega_\alpha} \right|$$

který konverguje k nule pro $k \rightarrow \infty$. Pomocí (43) a (44) tedy odvodíme

$$\liminf_{k \rightarrow \infty} j(\alpha_k, u^k) \geq \frac{1}{\text{mes } \Omega_\alpha} \int_{G_m} Q(u(\alpha)) dx.$$

Protože m bylo libovolné, můžeme přejít k limitě pro $m \rightarrow \infty$, a tak dostat tvrzení Lemmatu 1.3.

Důkaz Věty 1.1. Nechť $\{\alpha_p\}$, $\alpha_p \in U_{ad}$ je minimalizační posloupnost funkcionálu $j(\alpha)$, tzn.

$$\lim_{p \rightarrow \infty} j(\alpha_p) = \lim_{p \rightarrow \infty} j(\alpha_p, u(\alpha_p)) = \inf_{\gamma \in U_{ad}} j(\gamma, u(\gamma)).$$

Množina U_{ad} je omezená a uzavřená v R^{3N_0} , tedy kompaktní. Existuje tedy podposloupnost $\{\alpha_n\} \subset \{\alpha_p\}$ taková, že

$$\alpha_n \rightarrow \alpha \quad \forall R^{3N_0}, \quad \alpha \in U_{ad}.$$

Podle Lemmatu 1.3 existuje tedy podposloupnost $\{\alpha_k\} \subset \{\alpha_n\}$ taková, že

$$j(\alpha, u(\alpha)) \leq \liminf_{k \rightarrow \infty} j(\alpha_k, u(\alpha_k)) = \inf_{\gamma \in U_{ad}} j(\gamma, u(\gamma)).$$

Tedy α je řešením úlohy optimalizace. Q.E.D.

2. Existence řešení přibližné úlohy optimalizace

V této kapitole dokážeme, že přibližná úloha optimalizace, definovaná pomocí metody konečných prvků, má aspoň jedno řešení.

Připomeneme nejprve, jak jsme přibližnou úlohu definovali (srovnej [1] - kapitolu 2.2), ale poněkud pozměníme definici v souladu s (1) - (7) kapitoly 1. Budeme uvažovat čtyřúhelníkové isoparametrické prvky typu Q_2^1 , i když v praxi je možné vést zcela analogický důkaz i pro jiné, např. trojúhelníkové prvky s jednou zakřivenou stranou.

Zavedeme pohyblivé síť uzlů a příslušná dělení $\mathcal{T}_h(\alpha)$, $\alpha \in U_{ad}$, oblasti $\Omega_h(\alpha)$ tak, jak bylo uvedeno na začátku kapitoly 2.2 ve zprávě [1]. Množinu U_{ad} definujeme podle (5). Označme (při vynechání závislosti na α)

$$V_h = H_h(\Omega_h) \cap V(\Omega_h)$$

a hledáme řešení $\vartheta_h \in H_h(\Omega_h)$ 1. části přibližné stavové úlohy tak, aby $\vartheta_h - \vartheta_{oh} \in V_h$,

$$(45) \int_{\Omega_h} \alpha \nabla \vartheta_h \cdot \nabla w_h dx + \int_{\partial \Omega_h} \alpha \vartheta_h w_h ds = \int_{\partial \Omega_h} g w_h ds \quad \forall w_h \in V_h,$$

přičemž $\vartheta_{oh} \in H_h(\Omega_h)$ definujeme vždy tak, že $\vartheta_{oh} = \vartheta_o$ v uzlech na Γ_h a $\vartheta_{oh} = 0$ v ostatních uzlech.

Ve druhé části přibližné stavové úlohy hledáme $u_h \in V_p(\Omega_h)$ takovou, aby

$$(46) \int_{\Omega_h} \tilde{\epsilon}_{ij}(u_h) \epsilon_j(v_h) dx = \int_{\Omega_h} k_o \vartheta_h \operatorname{div} v_h dx \quad \forall v_h \in V_p(\Omega_h)$$

Konečně definujeme

$$j_h(\alpha, u_h(\alpha)) = (\text{mes } \Omega_h)^{-1} \int_{\Omega_h} I^2(\tau(u_h(\alpha))) dx$$

a přibližná úloha optimalizace zní:

najít $\alpha \in U_{ad}$, které minimalizuje $j_h(\alpha, u_h(\alpha))$,
t.j.

$$j_h(\alpha, u_h(\alpha)) \leq j_h(\eta, u_h(\eta)) \quad \forall \eta \in U_{ad}$$

Důkaz existence řešení této úlohy spočívá na dvou faktech:

(a) množina U_{ad} je kompaktní v prostoru \mathbb{R}^{3N_0} ,

(b) funkce $\alpha \mapsto j_h(\alpha, u_h(\alpha))$ je spojitá na U_{ad} .

Abychom dokázali část (a), stačí si uvědomit, že U_{ad} je omezená a uzavřená v \mathbb{R}^{3N_0} , což plynne přímo z její definice.

Důkaz spojitosti je mnohem obtížnější. Budeme používat několik pomocných lemmat.

Lemma 2.1. Nechť $\alpha_n \rightarrow \alpha$ v \mathbb{R}^{3N_0} pro $n \rightarrow \infty$.

Pak

$$(47) \quad \Gamma_h(\alpha_n) \rightharpoonup \Gamma_h(\alpha)$$

t.j.

$$\forall \varepsilon > 0 \exists n(\varepsilon), n > n(\varepsilon) \Rightarrow$$

$$\Gamma_h(\alpha_n) \in \delta(\Gamma_h(\alpha), \varepsilon),$$

kde δ značí ε -okolí uzavřených křivek $\Gamma_h(\alpha)$.

Důkaz. Pišme zobrazení referenčního čtverce ve tvaru

$$(48) \quad x = x(\xi, \eta) = \sum_{i=1}^d N_i(\xi, \eta) x_i$$

$$y = y(\xi, \eta) = \sum_{i=1}^d N_i(\xi, \eta) y_i,$$

kde N_i jsou tvarové-bikvadratické-funkce a (x_i, y_i) souřadnice uzlových bodů na hranici čtyřúhelníkového prvku.

Budiž $A_n \in \Gamma_h(a_n)$ libovolný bod se souřadnicemi (x_i^n, y_i^n) . Nechť je obrazem bodu $(\xi, -1)$ na hranici referenčního čtverce při zobrazení (48), kde však (x_i, y_i) nahradíme souřadnicemi (x_i^n, y_i^n) . Bod $A \in \Gamma_h(\alpha)$ nechť je obrazem téhož bodu při zobrazení (48).

Pak platí

$$\begin{aligned} \text{dist}(A_n, \Gamma_h(\alpha)) &= \overline{A_n(\xi), A(\xi)} = \\ &= \left[(x(\xi) - x_n(\xi))^2 + (y(\xi) - y_n(\xi))^2 \right]^{1/2} \leq \\ &\leq C \sum_{i=1}^8 \| q_i - q_i^n \|, \end{aligned}$$

kde q_i jsou polohové vektory uzlových bodů, $q_i = (x_i, y_i)$, $q_i^n = (x_i^n, y_i^n)$. Protože $q_i^n \rightarrow q_i$, platí tvrzení lemmatu.

Lemma 2.2. Označme K_1 , resp. K_1^n jednotlivé prvky $\mathcal{T}_h(\alpha)$, resp. $\mathcal{T}_h(a_n)$, $x = F(\hat{x})$ zobrazení (48). Inverzní zobrazení $\hat{x} = F^{-1}(x)$ pišme ve tvaru

$$\xi = \xi(x, y),$$

$$\eta = \eta(x, y),$$

inverzní zobrazení $\hat{x} = F_n^{-1}(x)$ ve tvaru

$$\xi = \xi^n(x, y),$$

$$\eta = \eta^n(x, y).$$

Při $a_n \rightarrow a$ existuje soustava podoblastí $\{G_m^i\}_{m=1,2,\dots}$, taková, že pro všechna i platí

$$G_m^i \subset K_i,$$

$$G_m^i \rightarrow K_i$$

pro $m \rightarrow \infty$, $\forall i$

$$\forall m \exists n_0(m), \quad n > n_0(m) \Rightarrow \\ \bar{G}_m^i \subset K_i \cap K_i^n.$$

Pak platí pro $n \rightarrow \infty$

$$\frac{\partial \xi^n}{\partial x} \rightarrow \frac{\partial \xi}{\partial x} \quad (\text{stejnoměrně}) \text{ na každé } G_m^i,$$

$$\left| \frac{\partial \xi}{\partial x} \right| \leq c \quad \text{na } K_i.$$

Důkaz plyne přímým výpočtem, užijeme-li vzorci

$$(49) \quad \frac{\partial \xi^n}{\partial x} = \frac{\psi_\xi^n}{\phi_\xi^n \psi_\eta^n - \phi_\eta^n \psi_\xi^n}$$

kde ϕ^n, ψ^n jsou složky zobrazení $F_n(\hat{x}): \hat{K} \rightarrow K_i^n$
a indexy značí parciální derivace.

Lemma 2.3. Označme

$$x^n = F_n^{-1}(x), \quad \hat{x} = F^{-1}(x).$$

Na každé podoblasti G_m^i platí

$$\|\hat{x}^n - \hat{x}\| \rightarrow 0.$$

Důkaz. Protože

$$\xi^n(F_n(F^{-1}(x)) - \xi(x)) = \xi^n(F_n(x)) - \xi(x) = \xi(x) - \xi(x) = 0;$$

můžeme psát

$$|\xi^n(x) - \xi(x)| \leq |\xi^n(x) - \xi^n(F_n(F^{-1}(x)))| + |\xi^n(F_n(F^{-1}(x))) - \xi(x)| \leq \\ \leq \left| \sum_{j=1}^2 \frac{\partial \xi^n}{\partial x_j} (\vartheta)(x_j - F_{nj}(\hat{x})) \right| \leq C(m) \sum_{j=1}^2 |F_j(\hat{x}) - F_{nj}(\hat{x})| \rightarrow 0.$$

Zde jsme využili omezenosti $\partial \xi^n / \partial x_j$ na G_m , plynoucí z Lemmatu 2.2.

Podobně lze odhadnout také $\eta^n(x) - \eta(x)$ a odtud plyně tvrzení Lemmatu.

Lemma 2.4. Nechť w^k , resp. $w^{(n)k}$ jsou bázové funkce podprostoru $H_h(\alpha)$, resp. $H_h(\alpha_n)$.

Pak na každém G_m^i platí

$$(50) \quad \left| \frac{\partial}{\partial x} (w^{(n)k} - w^k) \right| + \left| \frac{\partial}{\partial y} (w^{(n)k} - w^k) \right| \rightarrow 0,$$

akromě toho

$$(51) \quad \left| \frac{\partial}{\partial x} w^{(n)k} \right| \leq C \quad \text{na } H_h(\alpha_n) + n$$

Důkaz. Pro $x \in G_m^i$ platí

$$(52) \quad \begin{aligned} \left| \frac{\partial}{\partial x} (w^{(n)k} - w^k) \right| &= \left| \frac{\partial}{\partial x} [N(F_n^{-1}(x)) - N(F^{-1}(x))] \right| \leq \\ &\leq \left| N_\xi(\hat{x}^n) \cdot \frac{\partial \xi^n}{\partial x} + N_\eta(\hat{x}^n) \frac{\partial \eta^n}{\partial x} - N_\xi(\hat{x}) \frac{\partial \xi}{\partial x} - \right. \\ &\quad \left. - N_\eta(\hat{x}) \frac{\partial \eta}{\partial x} \right| \leq \left| (N_\xi(\hat{x}^n) - N_\xi(\hat{x})) \frac{\partial \xi^n}{\partial x} + \right. \\ &\quad \left. + N_\xi(\hat{x}) \left(\frac{\partial \xi^n}{\partial x} - \frac{\partial \xi}{\partial x} \right) \right| + \dots |, \end{aligned}$$

$$(53) \quad \left| N_\xi(\hat{x}^n) - N_\xi(\hat{x}) \right| = \left| \nabla_{\hat{x}} N(\vartheta) \cdot (\hat{x}^n - \hat{x}) \right| \leq C \|\hat{x}^n - \hat{x}\| \rightarrow 0,$$

kde jsme využili Lemmatu 2.3. Dosadíme-li do (52) a použijeme také Lemmatu 2.2, vyplývá odtud (50).

Abychom dokázali (51), pišme nejprve

$$\left| \frac{\partial}{\partial x} \tilde{w}^{(n)k} \right| = \left| N_x \frac{\partial \xi^n}{\partial x} + N_y \frac{\partial \eta^n}{\partial x} \right| \leq C \left(\left| \frac{\partial \xi^n}{\partial x} \right| + \left| \frac{\partial \eta^n}{\partial x} \right| \right).$$

a užijeme toho, že zlomek ve vzorci (49) lze omezit v absolutní hodnotě shora konstantou.

Lemma 2.5. Na každém prvku $K_i \in \mathcal{T}_h(\alpha)$ platí

$$(54) \quad \int_{K_i} \left(\frac{\partial}{\partial x} (\tilde{w}^{(n)k} - \tilde{w}^k) \right)^2 dx \rightarrow 0.$$

Důkaz. Vyšetřovaný integrál se rovná součtu

$$(55) \quad \int_{G_m^k} \left(\quad \right)^2 dx + \int_{K_i - G_m^k} \left(\quad \right)^2 dx.$$

Druhý integrál konverguje k nule pro $m \rightarrow \infty$ vzhledem k tomu, že integrand je omezený díky (51).

Prvý integrál konverguje k nule na základě (50).

Lemma 2.6. Nechť \tilde{w}^k , resp. $\tilde{w}^{(n)k}$ jsou bázové funkce prostoru $H_h(\Omega_h(\alpha))$, resp. $H_h(\Omega_h(\alpha_n))$, prodloužené na oblast Ω . Potom pro všechna k platí

$$\|\tilde{w}^{(n)k} - \tilde{w}^k\|_{0,\Omega} \rightarrow 0.$$

Důkaz. Nechť $K_i \subset \text{supp } \tilde{w}^k$. Pro $x \in K_i \cap K_i^{(n)}$ platí

$$(56) \quad |\tilde{w}^{(n)k} - \tilde{w}^k| = |N(\hat{x}^n) - N(\hat{x})| \leq |\nabla N(\hat{x})| \cdot \|\hat{x}^n - \hat{x}\|.$$

Pišme $\delta_n = \tilde{w}^{(n)k} - \tilde{w}^k$,

$$(57) \quad \int_{K_i} \delta_n^2 dx = \int_{G_m^k} \delta_n^2 dx + \int_{K_i - G_m^k} \delta_n^2 dx.$$

Integrál přes $K_i - G_m^i$ konverguje pro $m \rightarrow \infty$ k nule, neboť

$|\delta_n| \leq C$. Integrál přes G_m^i konverguje k nule pro $n \rightarrow \infty$, jak vyplývá z (56) a Lemmatu 2.3. Je tedy

$$(58) \quad \lim_{n \rightarrow \infty} \int_{K_i} \delta_n^2 dx = 0.$$

Dále platí

$$(59) \quad \int_{\partial - \text{supp } \tilde{w}^k} \delta_n^2 dx = \int_{\partial - \text{supp } \tilde{w}^k} |\tilde{w}^{(n)k}|^2 dx \leq C \text{ mas } E_n,$$

kde

$$E_n = (\partial - \text{supp } \tilde{w}^k) \cap \text{supp } \tilde{w}^{(n)k}.$$

A však zřejmě

$$(60) \quad \text{mas } E_n \rightarrow 0.$$

Kombinací (58), (59) a (60) odvodíme tvrzení lemmatu.

Q.E.D.

Nyní budeme vyšetřovat spojitost prvků matic "tuhosti" odpovídajících úloze (45) a (46)

na $\Omega_h(a_n) = \Omega_n$, při přechodu $a_n \rightarrow a$

Píšeme $T^{(n)} + \mathcal{D}_{oh}^{(n)} = \mathcal{D}^{(n)}$,

$$(61) \quad T^{(n)} = \sum_{k=1}^K T_k^{(n)} w^{(n)k},$$

$$(62) \quad \mathcal{D}_{oh}^{(n)} = \sum_{k \in F^{(n)}} \mathcal{D}_0 w^{(n)k},$$

kde $F^{(n)}$ je množina uzlů ležících na $\Gamma_h(a_n)$.

Potom máme

$$\begin{aligned}
 (63) \quad & \int_{\Omega_n} \alpha \sum_k T_k^{(n)} \nabla w^{(n)k} \cdot \nabla w^{(n)j} dx + \int_{\partial \Omega_1} \alpha \sum_k T_k^{(n)} w^{(n)k} w^{(n)j} ds = \\
 & = \sum_k T_k^{(n)} \left(\int_{\Omega_n} \alpha \nabla w^{(n)k} \cdot \nabla w^{(n)j} dx + \int_{\partial \Omega_1} \alpha w^{(n)k} w^{(n)j} ds \right) = \\
 & = \sum_k A_{kj}^{(n)} T_k^{(n)}
 \end{aligned}$$

Lemma 2.7

$$\begin{aligned}
 (64) \quad & \int_{\Omega_n} \alpha \nabla w^{(n)k} \cdot \nabla w^{(n)j} dx - \int_{\Omega} \alpha \nabla w^k \cdot \nabla w^j dx = \\
 & = \int_{\Omega} \alpha (\nabla \delta_n w^k \cdot \nabla w^j + \nabla w^k \cdot \nabla \delta_n w^j) dx + \\
 & + \sum_i \sum_r \int_{K_i} \delta_n q^r \cdot \nabla [\delta^r (\alpha \nabla w^k \cdot \nabla w^j)] dx + o(\delta_n \alpha),
 \end{aligned}$$

kde

$$\delta_n w^k = w^{(n)k} - w^k \quad \forall k,$$

$$\delta_n \alpha = \alpha_n - \alpha, \quad \delta_n q^r = q^{(n)r} - q^r,$$

q^r jsou uzly triangulace $T_h(\alpha)$, $q^{(n)r}$ uzly $T_h(a_n)$.

Důkaz - viz Pironneau [4] (Proposition 5, str. 179).

Z Lemmatu 2.5 plyne, že první integrál na pravé straně (64)

konverguje k nule. Další člen konverguje rovněž k nule, neboť

$$\delta_n q^r \rightarrow 0.$$

Náme tedy

$$(65) \quad \left| \int_{\Omega_n} a \nabla w^{(n)k} \cdot \nabla w^{(n)} j dx - \int_{\Omega} a \nabla w^k \cdot \nabla w^j dx \right| \rightarrow 0.$$

protože však

$$w^{(n)k} = w^k \quad \text{na} \quad \partial \Omega_1,$$

z (65) vyplývá

$$(66) \quad A_{kj}^{(n)} \rightarrow A_{kj}.$$

Na pravé straně systému lineárních rovnic

$$A_{kj}^{(n)} T_j^{(n)} = b_k^{(n)}$$

úlohy (45) bude člen

$$\begin{aligned} b_k^{(n)} &= \int_{\partial \Omega_{oh}} g w^{(n)k} ds - \int_{\Omega_n} a \nabla \vartheta_{oh}^{(n)} \cdot \nabla w^{(n)k} dx - \int_{\partial \Omega_1} \alpha \vartheta_{oh}^{(n)} w^{(n)k} ds = \\ &= \int_{\partial \Omega_{oh}} g w^k ds - \int_{\Omega_n} a \nabla \vartheta_{oh}^{(n)} \cdot \nabla w^{(n)k} dx. \end{aligned}$$

Zde jsme dosadili

$$w^{(n)k} = w^k \quad \text{na} \quad \partial \Omega_{oh},$$

$$\vartheta_{oh}^{(n)} = 0 \quad \text{na} \quad \partial \Omega_1.$$

Použijeme-li rozvoje (62) a výsledku (65), dostaneme

$$\left| \sum_{j \in F^{(n)}} \int_{\Omega_n} a \vartheta_0 \nabla w^{(n)k} \cdot \nabla w^{(n)j} dx - \sum_{j \in F} \int_{\Omega} a \vartheta_0 \nabla w^k \cdot \nabla w^j dx \right| \leq$$

$$\leq |\vartheta_0| \sum_{j \in F} \left| \int_{\Omega_n} \alpha \nabla w^{(n)} \cdot \nabla w^{(n)} j dx - \int_{\Omega} \alpha \nabla w^k \cdot \nabla w^k j dx \right| \rightarrow 0.$$

tedy

$$(67) \quad b_k^{(n)} \rightarrow b_k$$

Prodlužme všechny funkce $t^{(n)}, t, w^{(n)}, w^k$ nulou na oblast Ω a označme prodloužené funkce pruhem, tedy $\bar{t}^{(n)}, \bar{t}, \bar{w}^{(n)k}, \bar{w}^k$.

Pak platí

Lemma 2.8. Platí

$$\int_{\Omega} (\bar{t}^{(n)} - \bar{t})^2 dx \rightarrow 0.$$

Důkaz. Můžeme psát

$$\begin{aligned} |\bar{t}^{(n)} - \bar{t}| &= \left| \sum_k (T_k^{(n)} \bar{w}^{(n)k} - T_k \bar{w}^k) \right| \leq \\ &\leq \sum_k |T_k^{(n)} - T_k| |\bar{w}^{(n)k}| + \sum_k |T_k| |\bar{w}^{(n)k} - \bar{w}^k|. \end{aligned}$$

Máme tedy

$$\begin{aligned} (68) \quad \int_{\Omega} (\bar{t}^{(n)} - \bar{t})^2 dx &\leq 2 \left(\sum_k |T_k^{(n)} - T_k|^2 \right) \int_{\Omega} (\bar{w}^{(n)k})^2 dx + \\ &+ 2 \left(\sum_k |T_k|^2 \right) \int_{\Omega} (\bar{w}^{(n)k} - \bar{w}^k)^2 dx. \end{aligned}$$

Z Lemmatu 2.6 a (66), (67) plyne, že

$$(69) \quad \int_{\Omega} \sum_k (\bar{w}^{(n)k})^2 dx < C \quad \forall n$$

$$(70) \quad T_k^{(n)} \rightarrow T_k.$$

Podobně z Lemmatu 2.6 plyne, že i poslední člen na pravé straně (68) konverguje k nule. C.B.D.

Vyšetřujme nyní rovnici (46). Dosadíme-li

$$u^{(n)} = \sum_k U_k^{(n)} \tilde{w}^{(n)k}, \quad \tilde{w}^{(n)k} = \begin{pmatrix} w^{(n)k} \\ 0 \end{pmatrix} \text{ nebo } \begin{pmatrix} 0 \\ w^{(n)k} \end{pmatrix},$$

na levé straně (46) bude

$$\int_{\Omega_n} \tau_{is}(u^{(n)}) \varepsilon_{is}(\tilde{w}^{(n)j}) dx = \sum_k U_k^{(n)} \int_{\Omega_n} \tau_{is}(\tilde{w}^{(n)k}) \varepsilon_{is}(\tilde{w}^{(n)j}) dx = \\ = \sum_k A_{kj}^{(n)} U_k^{(n)}$$

Můžeme dále rozepsat

$$A_{kj}^{(n)} = \int_{\Omega_n} c_{ismr} \frac{\partial w_i^{(n)k}}{\partial x_s} \frac{\partial w_m^{(n)j}}{\partial x_r} dx,$$

kde $i, s, m, r = 1, 2$ a c_{ismr} jsou dané konstanty.

Zcela analogicky, jak jsme odvodili (66), lze odvodit, že

$$(71) \quad A_{kj}^{(n)} \rightarrow A_{kj}.$$

Na pravé straně (46) bude

$$(72) \quad \int_{\Omega_n} k_0 (\tilde{\vartheta}_{oh}^{(n)} + \tilde{t}^{(n)}) \operatorname{div} \tilde{w}^{(n)j} dx = B_j^{(n)},$$

Nejprve odvodíme

$$\tilde{\vartheta}_{oh}^{(n)}$$

Lemma 2.2. Prodloužíme-li konstantou spojitě na oblast Ω jak pro prodloužené funkce $\tilde{\vartheta}_{oh}^{(n)}$ platí

$$\| \tilde{\vartheta}_{oh}^{(n)} - \tilde{\vartheta}_{oh} \|_{0,\Omega} \rightarrow 0.$$

Důkaz. Můžeme psát

$$\tilde{\vartheta}_{oh}^{(n)} = \sum_{k \in F^{(n)}} \tilde{\vartheta}_0 \tilde{w}^{(n)k}$$

kde $\widetilde{F}^{(n)}$ je množina uzelů na $\Gamma_h^{(e_n)}$ i uvnitř $\Omega - \omega_n$
 a označme \widetilde{F} příslušnou množinu na $\Gamma_h^{(e)}$ a uvnitř $\Omega - \omega$
 Máme tedy

$$\begin{aligned} |\widetilde{\vartheta}_{oh}^{(n)} - \widetilde{\vartheta}_{oh}^*|^2 &= \left| \sum_{k \in \widetilde{F}} \vartheta_0 (\widetilde{w}^{(n)k} - \widetilde{w}^k) \right|^2 \leq \\ &\leq C \vartheta_0^2 \sum_{k \in \widetilde{F}} |\widetilde{w}^{(n)k} - \widetilde{w}^k|^2, \\ \int_{\Omega} |\widetilde{\vartheta}_{oh}^{(n)} - \widetilde{\vartheta}_{oh}^*|^2 dx &\leq C \vartheta_0^2 \sum_{k \in \widetilde{F}} \|\widetilde{w}^{(n)k} - \widetilde{w}^k\|_{0,\Omega}^2 \end{aligned}$$

a tvrzení Lemmatu vyplývá nyní z Lemmatu 2.6.

Odhadneme rozdíl

$$\begin{aligned} |B_j^{(n)} - B_j| &= \left| \int_{\Omega_n} k_0 (\vartheta_{oh}^{(n)} + t^{(n)}) \operatorname{div} \underline{w}^{(n)j} dx - \int_{\Omega} k_0 (\vartheta_{oh} + t) \operatorname{div} \widetilde{w}^j dx \right| \leq \\ &\leq \left| \int_{\Omega_n \cap \Omega} [k_0 (\vartheta_{oh}^{(n)} + t^{(n)}) \operatorname{div} \underline{w}^{(n)j} - k_0 (\vartheta_{oh} + t) \operatorname{div} \underline{w}^{(n)j}] + \right. \\ &\quad \left. + k_0 (\vartheta_{oh} + t) (\operatorname{div} (\underline{w}^{(n)j} - \widetilde{w}^j)] dx \right| + \left| \int_{\Omega_n - \Omega} k_0 (\vartheta_{oh}^{(n)} + t^{(n)}) \operatorname{div} \underline{w}^{(n)j} dx - \right. \\ &\quad \left. - k_0 (\vartheta_{oh} + t) \operatorname{div} \widetilde{w}^j dx \right| \leq \left| \int_{\Omega_n \cap \Omega} k_0 (\vartheta_{oh}^{(n)} - \vartheta_{oh} + t^{(n)} - t) \operatorname{div} \underline{w}^{(n)j} dx \right| + \\ &\quad + \left| \int_{\Omega_n \cap \Omega} k_0 (\vartheta_{oh} + t) \operatorname{div} (\underline{w}^{(n)j} - \widetilde{w}^j) dx \right| + \left| \int_{\Omega_n - \Omega} k_0 (\vartheta_{oh}^{(n)} + t^{(n)}) \right. \\ &\quad \left. \operatorname{div} \underline{w}^{(n)j} dx \right| + \left| \int_{\Omega - \Omega_n} k_0 (\vartheta_{oh} + t) \operatorname{div} \widetilde{w}^j dx \right| = \\ &= \overline{I}_1 + \overline{I}_2 + \overline{I}_3 + \overline{I}_4. \end{aligned}$$

Odhadneme postupně jednotlivé sčítance.

$$I_1 \leq C (\|\tilde{v}_{oh}^{(n)} - v_{oh}\|_{0,\Omega_n \cap \Omega} + \|t^{(n)} - t\|_{0,\Omega_n \cap \Omega}) \|\operatorname{div} \tilde{w}^{(n)}\|_{0,\Omega_n \cap \Omega}.$$

Protože však

$$\|\tilde{v}_{oh}^{(n)} - v_{oh}\|_{0,\Omega_n \cap \Omega} \leq \|\tilde{v}_{oh}^{(n)} - \tilde{v}_{oh}\|_{0,\Omega} \rightarrow 0$$

$$\|t^{(n)} - t\|_{0,\Omega_n \cap \Omega} \leq \|\bar{E}^{(n)} - \bar{E}\|_{0,\Omega} \rightarrow 0$$

v důsledku Lemmat 2.9 a 2.8 a máme

$$\|\operatorname{div} \tilde{w}^{(n)}\|_{0,\Omega_n \cap \Omega} \leq C$$

v důsledku (51) z Lemmatu 2.4, je $I_1 \rightarrow 0$.

$$I_2 \leq \sum_i \left| \int_{G_m^i} k_o (\tilde{v}_{oh}^{(n)} + t) \operatorname{div} (\tilde{w}^{(n)} - \tilde{w}^i) dx \right| +$$

$$+ \sum_i \left| \int_{K_i - G_m^i} k_o (\tilde{v}_{oh}^{(n)} + t) \operatorname{div} (\tilde{w}^{(n)} - \tilde{w}^i) dx \right|.$$

Z (51) plyne, že druhý sčítanec konverguje k nule pro $m \rightarrow \infty$.

Z Lemmatu 2.4 (50) vyplývá, že první člen konverguje k nule.

Tedy $I_2 \rightarrow 0$.

Dále máme

$$I_3 \leq k_o (\|\tilde{v}_{oh}^{(n)}\|_{0,\Omega} + \|\bar{E}^{(n)}\|_{0,\Omega}) \cdot C \operatorname{mes}(\Omega_n - \Omega) \rightarrow 0$$

na základě (51) z Lemmatu 2.4 a Lemmat 2.9, 2.8.

Konečně

$$I_4 \leq k_0 \| \vartheta_{\text{oh}} + t \|_{0,\Omega} \| \operatorname{div} \tilde{w}^i \|_{0,\Omega-\Omega_n} \rightarrow 0,$$

protože $\operatorname{mes}(\Omega - \Omega_n) \rightarrow 0$.

Máme tedy

$$(73) \quad B_j^{(n)} \rightarrow B_j.$$

Protože $u^{(n)}$ hledáme v prostoru $V_p(\Omega_h(\varepsilon_n))$ kromě soustavy rovnic

$$\sum_k A_{kj}^{(n)} \cdot U_k^{(n)} = B_j^{(n)},$$

uvažujeme ještě doplňující 3 podmínky na části $\Gamma_1 \subset \partial\Omega_1$ (viz (3)).

Protože však

$$\tilde{w}^{(n)k} = \tilde{w}^k \quad \text{na } \Gamma_1,$$

koefficienty těchto doplňkových podmínek jsou nezávislé na n .

Celkem tedy ze vztahů (71), (73) vyplývá, že pro řešení doplněné soustavy platí

$$(74) \quad U_k^{(n)} \rightarrow U_k.$$

Připomeneme označení

$$u^{(n)} = \sum_k U_k^{(n)} \tilde{w}^{(n)k}, \quad u = \sum_k U_k \tilde{w}^k.$$

Lemma 2.10. Pro každou oblast

$$G_m = \left\{ x \in \Omega_h(\varepsilon) : \operatorname{dist}(x, \Gamma_h(\varepsilon)) > \frac{1}{m} \right\}, \quad m = 1, 2, \dots$$

platí

$$\int_{G_m} \frac{\partial}{\partial x_j} (u_i^{(n)} - u_i) dx \rightarrow 0.$$

G_m

Důkaz. Máme především

$$\begin{aligned} & \int_{G_m} \left[\sum_k \left(U_k^{(n)} \frac{\partial}{\partial x_j} w_i^{(n)k} - U_k \frac{\partial}{\partial x_j} w_i^k \right) \right]^2 dx \leq \\ & \leq C \int_{G_m} \sum_k \left(U_k^{(n)} \frac{\partial}{\partial x_j} w_i^{(n)k} - U_k \frac{\partial}{\partial x_j} w_i^k \right)^2 dx, \end{aligned}$$

a na základě Lemmatu 2.4 a (74) odvodíme

$$\begin{aligned} & \int_{G_m} \left[U_k^{(n)} \frac{\partial}{\partial x_j} w_i^{(n)k} - U_k \frac{\partial}{\partial x_j} w_i^k + U_k \left(\frac{\partial}{\partial x_j} w_i^{(n)k} - \frac{\partial}{\partial x_j} w_i^k \right) \right]^2 dx \leq \\ & \leq 2 \int_{G_m} (U_k^{(n)} - U_k)^2 \left| \frac{\partial}{\partial x_j} w_i^{(n)k} \right|^2 dx + 2 \int_{G_m} U_k^2 \left[\frac{\partial}{\partial x_j} (w_i^{(n)k} - w_i^k) \right]^2 dx \rightarrow 0. \end{aligned}$$

Konečně přistoupíme k důkazu spojitosti úcelového funkcionálu.

Máme (viz důkaz Lemmatu 1.3)

$$j_h(\varepsilon_n, u^{(n)}) = (\text{mes } \Omega_n)^{-1} \int_{\Omega_n} Q(u^{(n)}) dx,$$

$$j_h(\varepsilon, u) = (\text{mes } \Omega)^{-1} \int_{\Omega} Q(u) dx.$$

$$(75) \quad |j_h(\alpha_n, u^{(n)}) - j_h(\alpha, u)| \leq |(\text{mes } \Omega_n)^{-1} \left[\int_{\Omega_n} Q(u^{(n)}) dx - \right. \\ \left. - \int_{\Omega} Q(u) dx \right]| + |(\text{mes } \Omega_n)^{-1} - (\text{mes } \Omega)^{-1}| \left| \int_{\Omega} Q(u) dx \right|.$$

Jelikož $\text{mes } \Omega_n \rightarrow \text{mes } \Omega$, druhý člen na pravé straně konverguje k nule.

Odhadněme první člen. Pro všechna n můžeme položit zřejmě

$$\text{mes } \Omega_n > \frac{1}{2} \text{mes } \Omega,$$

tedy

$$(76) \quad (\text{mes } \Omega_n)^{-1} \leq 2/\text{mes } \Omega = C.$$

Pišme

$$\int_{\Omega_n} Q(u^n) dx = \int_{G_m} Q(u^n) dx + \int_{\Omega_n - G_m} Q(u^n) dx$$

$$\int_{\Omega} Q(u) dx = \int_{G_m} Q(u) dx + \int_{\Omega - G_m} Q(u) dx,$$

tedy

$$\left| \int_{\Omega_n} Q(u^n) dx - \int_{\Omega} Q(u) dx \right| \leq \left| \int_{G_m} [Q(u^n) - Q(u)] dx \right| +$$

$$+ \int_{\Omega_n - G_m} Q(u^n) dx + \int_{\Omega - G_m} Q(u) dx = I_1 + I_2 + I_3$$

Z Lemmatu 2.10 plyne, že

$$(77) \quad I_1 \rightarrow 0.$$

Protože

$$\text{mes}(\Omega - G_m) \rightarrow 0 \quad \text{pro } m \rightarrow \infty,$$

je

$$(78) \quad I_3 \rightarrow 0 \quad \text{pro } m \rightarrow \infty.$$

Pro I_2 můžeme psát odhad

$$I_2 = \int_{\Omega_n - G_m} Q(u^n) dx \leq C \int_{\Omega_n - G_m} \sum_{i,j=1}^2 \left(\frac{\partial u_i^n}{\partial x_j} \right)^2 dx.$$

Vzhledem k (74) a Lemmatu 2.4 (51) platí

$$\left| \frac{\partial u_i^n}{\partial x_j} \right| = \left| \sum_k U_k^{(n)} \frac{\partial w_i^{(n)k}}{\partial x_j} \right| \leq \sum_k \|U_k^{(n)}\| \frac{\partial w_i^{(n)k}}{\partial x_j} \leq C.$$

Odtud vyplývá, že

$$(79) \quad I_2 \leq C_1 \text{mes}(\Omega_n - G_m) \leq C_1 [\text{mes}(\Omega_n - \Omega) + \text{mes}(\Omega - G_m)] \rightarrow \\ \rightarrow 0 \quad \text{pro } n \rightarrow \infty, m \rightarrow \infty.$$

Kombinací (77), (78), (79) vyplývá

$$\int_{\Omega_n} Q(u^n) dx \rightarrow Q(u) dx.$$

Dosadíme-li spolu s (76) do (75), vychází

$$j_h(\alpha_n, u^{(n)}) \rightarrow j_h(\alpha, u),$$

čímž je důkaz spojitosti zakončen.

Q.E.D.

3. Aproximace úlohy identifikace

Studium konvergence diskrétních modelů

Formulujeme tento identifikační problém:

buď $U_{ad} \subset L^2(\partial\Omega_0)$ konvexní, uzavřená podmnožina

(rozdělení hranice $\partial\Omega$ na $\partial\Omega_0, \partial\Omega_1$, a Γ je dán obr. 2), definovaná vztahem

$$U_{ad} = \left\{ \gamma \in L^\infty(\partial\Omega_0) \mid \|\gamma\|_{\infty, \partial\Omega_0} \leq c_1; \int_{\partial\Omega_0} \gamma ds \leq c_2 \right\},$$

kde c_1, c_2 jsou dané konstanty.

Pro danou pevnou $\gamma \in U_{ad}$ definujeme stavový problém:

$$(P(p)) \quad \begin{cases} \text{naležt } \vartheta = \vartheta(\gamma) \in V(\Omega \setminus \Omega_0) \text{ tak, aby} \\ a(\vartheta(\gamma), w) = (\gamma, w) \quad \forall w \in V(\Omega \setminus \Omega_0), \end{cases}$$

kde

$$V(\Omega \setminus \Omega_0) = \{w \in H^1(\Omega \setminus \Omega_0) \setminus w=0 \text{ na } \Gamma\},$$

$$a(\vartheta(\gamma), w) \equiv \int_{\Omega \setminus \Omega_0} \tilde{\alpha} \nabla \vartheta \cdot \nabla w dx + \int_{\partial\Omega_1} \alpha \vartheta \cdot w ds,$$

$$\tilde{\alpha} \in L^\infty(\Omega \setminus \Omega_0)$$

$$\alpha \in L^\infty(\partial\Omega_1)$$

$$\tilde{\alpha} \geq 0, \alpha \geq 0,$$

$$(\gamma, w) = \int_{\partial\Omega_0} \gamma w ds.$$

Jcelový funkcionál \mathcal{J} definujeme výrazem

$$\mathcal{J}(y) = \frac{1}{2} \| \mathfrak{v}(y) - z_d \|_{\Omega \setminus \Omega_0}^2$$

kde $\mathfrak{v}(y)$ je řešení $(P(y))$ a $z_d \in H^1(\Omega \setminus \Omega_0)$ je daný pevný prvek.

Úlohou identifikace pravé strany rozumíme úlohu

$$(IP) \quad \left\{ \begin{array}{l} \text{nalézt } q \in U_{ad} \text{ tak, aby} \\ \mathcal{J}(q) \leq \mathcal{J}(y) \quad \forall y \in U_{ad} \end{array} \right.$$

Věta 3.1. Existuje alespoň jedno řešení úlohy (P)

Důkaz. Označme

$$q = \inf_{y \in U_{ad}} \mathcal{J}(y)$$

a buď $y_n \in U_{ad}$ odpovídající minimizační posloupnost, tj.

$$(1) \quad q = \lim_{n \rightarrow \infty} \mathcal{J}(y_n)$$

Zřejmě $\{y_n\}$ je omezená v normě prostoru $L^2(\partial\Omega_0)$ a existuje vybraná posloupnost (značíme ji stejně) a prvek $y^* \in L^2(\partial\Omega_0)$ takový, že

$$(2) \quad y_n \rightharpoonup y^* \quad (\text{slabě}) \quad \subset \quad L^2(\partial\Omega_0)$$

Z definice U_{ad} plyne, že $y^* \in U_{ad}$. Nechť $\mathfrak{v}_n = \mathfrak{v}_n(y_n)$ je řešení úlohy $(P(y_n))$ tj.

$$(3) \quad a(\mathfrak{v}_n, w) = (y_n, w) \quad \forall w \in V(\Omega \setminus \Omega_0)$$

Z (3) plyne, že $\|\mathfrak{v}_n\|_{\Omega \setminus \Omega_0}$ je omezená a proto existuje vybraná posloupnost (opět ji značíme stejně) a prvek $\mathfrak{v}^* \in V(\Omega \setminus \Omega_0)$ takový, že

$$(4) \quad \mathfrak{v}_n \rightharpoonup \mathfrak{v}^* \quad (\text{slabě}) \quad \subset \quad V(\Omega \setminus \Omega_0).$$

Od tedy, s využitím (2) plyne limitním přechodem v (3), že \mathcal{J}^* je řešením úlohy $(\mathcal{P}(y^*))$. Ze slabé zdola polospojitosti cenového funkcionálu a z (1) plyne:

$$q = \liminf_{n \rightarrow \infty} \mathcal{J}(y_n) \geq \mathcal{J}(y^*)$$

neboli y^* je jedno z řešení úlohy (\mathcal{P}) .

Ekvivalentní charakterizace řešení úlohy

Protože se jedná o úlohu konvexního programování, je $g \in U_{ad}$ řešením (\mathcal{P}) právě tehdy, když

$$(\mathcal{P}') \quad \mathcal{J}'(g)(y-g) \geq 0 \quad \forall y \in U_{ad}.$$

Spočteme $\mathcal{J}'(g)y$. Přímým výpočtem zjistíme, že

$$(5) \quad \mathcal{J}'(g)y = (\mathcal{V}(g) - z_d; y)_{H^1(\Omega \setminus \Omega_0)}.$$

Přitom $\mathcal{V}'(g)y$ značí derivaci řešení \mathcal{V} v bodě g a ve směru y . Snadno zjistíme, že $\mathcal{V}'(g)y \in V(\Omega \setminus \Omega_0)$ je řešením úlohy

$$(6) \quad a(\mathcal{V}'(g)y, w) = (y, w) \quad \forall w \in V(\Omega \setminus \Omega_0).$$

Bud $p \in V(\Omega \setminus \Omega_0)$ řešením úlohy:

$$(7) \quad a(p, w) = (\mathcal{V}(g) - z_d; w)_{H^1(\Omega \setminus \Omega_0)} \quad \forall w \in V(\Omega \setminus \Omega_0).$$

Dosazením funkce $\mathcal{V}'(g)y$ za w v (7), s využitím (5), (6) dostaneme

$$(8) \quad \mathcal{J}'(g)y = (y, p) \dots$$

Poznámka 3.1. Funkci p nazveme adjungovaným stavem úlohy (P) .

Aproximace úlohy (P)

Protože $\Omega \setminus \Omega_0$ je oblast, jejíž hranice není složena z přímých úseků, budeme v dalším k její approximaci užívat krivočaré konečné prvky. Toto motivuje další (prozatím obecný) postup.
Z důvodu jednoduchosti značení položme $Q \equiv \Omega \setminus \Omega_0$.

Bud Q_h systém approximujících množin takových, že

$$(9) \quad \partial Q_h \supseteq \partial Q \quad (\text{stejnoměrně}) .$$

Symboly Γ_h resp. $\partial \Omega_h$ označíme ty části ∂Q_h , jež approximují Γ resp. $\partial \Omega_0$. Bud $S_h(\partial \Omega)$ konečně-dimensionální prostor funkcí, definovaných na $\partial \Omega_h$ a položme

$$U_{ad}^h = \left\{ \gamma_h \in S_h(\partial \Omega_h) \setminus \left\| \gamma_h \right\|_{\infty, \partial \Omega_h} \leq c_1, \int_{\partial \Omega_h} \gamma_h ds \leq c_2 + \gamma(h) \right\},$$

kde $\gamma(h) \rightarrow 0$, když $h \rightarrow 0$.

Bud dále $V_h(Q_h)$ konečně-dimensionální podprostor prostoru $V(Q_h)$, kde

$$V(Q_h) = \left\{ v \in H^1(Q_h) \setminus v = 0 \text{ na } \Gamma_h \right\}.$$

Aproximací úlohy (P) nazveme úlohu

$$(P_h) \quad \begin{cases} \text{nalézt } \gamma_h \in U_{ad}^h & \text{takový, že} \\ \gamma_h(\gamma_h) = \gamma_h(\gamma_h) & \forall \gamma_h \in U_{ad}^h, \end{cases}$$

kde

$$\gamma_h(\gamma_h) = \frac{1}{2} \| \vartheta_h(\gamma_h) - \varphi_d \|_{V_h(Q_h)}^2, \quad \gamma_h \in U_{ad}^h \text{ a}$$

$$\vartheta_h(\gamma_h) = u_h(\gamma_h) + \vartheta_{oh} \in V_h(Q_h) + \vartheta_{oh}$$

je řešením approximované stavové úlohy:

$$(\mathcal{P}(g_h))_h \quad a_h(u_h(g_h), \varphi_h) = (g_h, \varphi_h)_h - a_h(\vartheta_{oh}, \varphi_h) \quad \forall \varphi_h \in V_h(Q_h).$$

Přitom

$$a_h(u_h, v_h) = \int_{Q_h} \tilde{a} \nabla u_h \nabla v_h dx + \int_{\partial\Omega_1} \alpha u_h v_h ds,$$

$$(g_h, \varphi_h)_h = \int_{\partial\Omega_0^h} g_h \varphi_h ds$$

(nezapomeňme, že $\partial\Omega_1$ je složena pouze z přímých úseků a tedy k žádné approximaci části $\partial\Omega_1$ nedochází), ϑ_{oh} je vhodnou approximací funkce ϑ_0 , jež nám realizuje okrajové podmínky.

Obdobně jako ve spojitém případě můžeme dokázat, že $(\mathcal{P})_h$ má alespoň jedno řešení. Platí:

Věta 3.2. Úloha $(\mathcal{P})_h$ má pro každé $h > 0$ alespoň jedno řešení.

Důkaz je analogií spojitého případu.

Rovněž tak charakterizace řešení úlohy $(\mathcal{P})_h$ za pomocí zavedení approximovaného adjungovaného stavu je možná. Platí totiž, že $g_h \in U_{ad}^h$ je řešením úlohy $(\mathcal{P})_h$ právě tehdy, když

$$(\mathcal{P})_h' \quad J'_h(g_h)(\varphi_h - g_h) \geq 0 \quad \forall \varphi_h \in U_{ad}^h.$$

Přitom

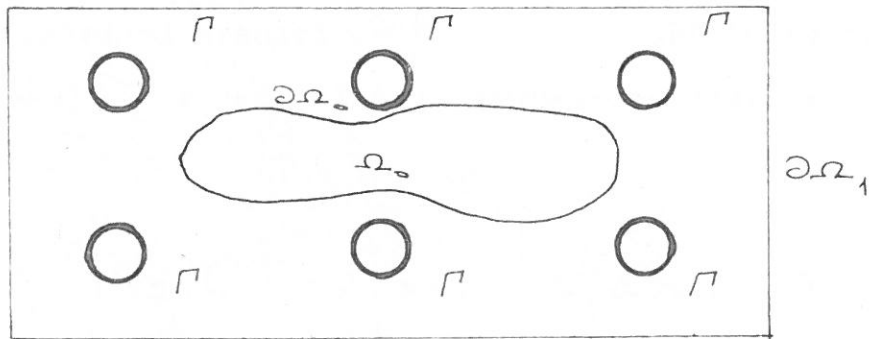
$$J'_h(g_h)\varphi_h = (g_h, p_h)_h,$$

kde $p_h \in V_h(Q_h)$ je řešením diskrétní okrajové úlohy

$$a_h(p_h, w_h) = (\vartheta_h(g_h) - z_d, w_h)_{H^1(Q_h)} \quad \forall w_h \in V_h(Q_h)$$

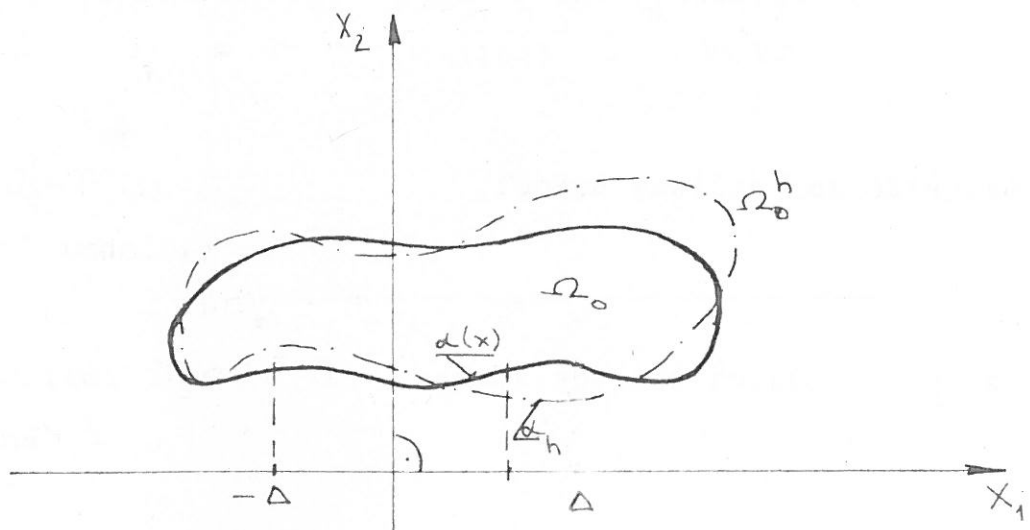
V dalším budeme studovat vzájemný vztah mezi úlohami (\mathcal{P}) a $(\mathcal{P})_h$. Za tím účelem zavedeme další značení a uvedeme nové hypothézy.

Bud $\widetilde{\Omega} \subset R_2$ taková, že $\widetilde{\Omega} \supset \overline{\Omega \setminus \Omega_0}$ (za $\widetilde{\Omega}$ můžeme vzít např. obdélník, ohrazený $\partial\Omega_1$).



Obr. 2

Je-li funkce $v \in H^1(\Omega \setminus \Omega_0)$, označíme symbolem \tilde{v} její spojité rozšíření z $\Omega \setminus \Omega_0$ do $\tilde{\Omega}$. Protože $v = 0$ na Γ , rozšiřujeme funkci v dovnitř kruhových otvorů nulou. Protože předpokládáme, že Ω_0 je oblast s lipschitzovskou hranicí $\partial\Omega_0$, lze tuto hranici lokálně reprezentovat jako graf lipschitzovské funkce ω_1 definované na intervalu $(-\Delta, \Delta)$ v lokálním souřadném systému (viz obr. 3).



Obr. 3

v dalším budeme předpokládat, že Ω_0^h jsou rovněž oblasti s lipschitzovskou hranicí $\partial\Omega_0^h$; příslušné funkce, jež popisují $\partial\Omega_0^h$ v jednotlivých souřadných systémech označíme α_h . Nechté

$$(i) \quad |\alpha'_h(x)| \leq C, \quad x \in (-\Delta, \Delta), \Delta > 0,$$

kde $C > 0$ nezávisí na h . Za tohoto předpokladu je možno ukázat (viz), že existuje konečný počet lokálních souřadnicových systémů (počet nezávislý na h) a takový, že se hranice $\partial\Omega_0, \partial\Omega_0^h + h > 0$ dají popsat funkcemi α, α_h .

Navíc nechté

$$(ii) \quad \alpha_h \rightarrow \alpha \quad \vee \quad H^1((- \Delta, \Delta)), \quad h \rightarrow 0+$$

Tímto zápisem budeme rozumět konvergenci v každém, z výše uvedeného souřadného systému.

Dále předpokládáme:

$$(iii) \quad \forall v \in H^1(\Omega \setminus \Omega_0) \quad \exists v_h \in V_h(\Omega \setminus \Omega_0) \text{ takové, že} \\ \tilde{v}_h \rightarrow \tilde{v} \quad (\text{silně}) \quad \vee \quad H^1(\tilde{\Omega}).$$

$$(iv) \quad \bar{v}_0 \in H^2(\Omega \setminus \Omega_0) \quad (\text{funkce realizující okrajové podmínky na } \Gamma) \text{ a}$$

$$\|\bar{v}_{0h} - \bar{v}_0\|_{1, Q_h} \rightarrow 0.$$

Přitom $\bar{v}_0 \in H^2(\tilde{\Omega})$ značí spojité rozšíření v_0 z $\Omega \setminus \Omega_0$ na $\tilde{\Omega}$.

$$(v) \quad \text{pro } \forall \gamma \in U_{ad} \quad \exists \gamma_h \in U_{ad} \quad \text{takové, že}$$

$$\gamma_h \rightarrow \gamma$$

přitom symbol $\gamma_h \rightarrow \gamma$ znamená

$$\gamma_h \circ \alpha_h \rightarrow \gamma \circ \alpha \quad \vee \quad L^2((-\Delta, \Delta))$$

v každém lokální souřadnicovém systému.

(vi) Ze vztahu

$$\gamma_h \rightarrow \gamma, \quad \gamma_h \in U_{ad}^h$$

plyne, že $\gamma \in U_{ad}$.

Opět symbol \rightarrow znamená, že

$$\gamma_h \circ \alpha_h \rightarrow \gamma \circ \alpha \quad \vee \quad L^2((-\Delta, \Delta))$$

v každém lokálním souřadnicovém systému. Hlavním výsledkem této části je

Věta 3.3. Nechť je splněno (i) - (vi). Pak existuje vybraná posloupnost $q_h \in U_{ad}^h$ (tj. řešení úloh $(\bar{P})_h$) a $q \in U_{ad}$ takové, že

$$\| \vartheta_h(q_h) - \vartheta(q) \|_{L^1(Q_h \cap Q)} \rightarrow 0, \quad h \rightarrow 0+$$

$$q_h \rightarrow q \quad (\text{ve smyslu (vi)})$$

Přitom q je řešením (\bar{P}) .

Důkaz. Nechť $q_h \in U_{ad}^h$ jsou řešené řešení úloh $(\bar{P})_h$. Z definice U_{ad}^h plyne, že $q_h \circ \alpha_h$ je omezena v $L^2((-\Delta, \Delta))$.

(V dalším budeme automaticky myslet v každém se souřadných systémů, ale nebudeme to explicitně vypisovat).

Existuje tedy vybraná posloupnost (značíme ji stejně) a prvek $\tilde{q} \in L^2((-\Delta, \Delta))$ takový, že

$$(10) \quad q_h \circ \alpha_h \rightarrow \tilde{q} \quad (\text{slabě}) \quad \vee \quad L^2((-\Delta, \Delta))$$

Definujme funkci $g(y), y \in \partial\Omega_0, y = \delta(x)$ vztahem $g(y) = \tilde{q}(x)$. Protože $g_h \in U_{ad}^h$ a platí (10), plynne z (vi), že $g \in U_{ad}$. V dalším ukážeme, že g řeší (P) . Z definice $(P(g_h))_h$ z omezenosti g_h a (iv) plynne, že $u_h(g_h) \in V_h(Q_h)$ je omezena v normě $H^1(Q_h)$, tj.

$\exists c > 0$ nezávislá na $h > 0$ a taková, že

$$\|u_h(g_h)\|_{1, Q_h} \leq c.$$

Bud $\tilde{u}_h(g_h)$ spojité rozšíření funkce $u_h(g_h)$ z Q_h na $\tilde{\Omega}$ (opět nulou "za Γ_h "). Díky vlastnosti (i) je možno ukázat, že norma příslušného rozšíření nezávisí na oblasti Q_h . Jinými slovy

$$(11) \quad \|\tilde{u}_h(g_h)\|_{1, \tilde{\Omega}} \leq \tilde{c},$$

kde $\tilde{c} > 0$ nezávisí na h . Existuje tedy funkce $\tilde{u} \in H^1(\tilde{\Omega})$ taková, že

$$\tilde{u}_h(g_h) \rightarrow \tilde{u} \quad (\text{slabě}) \vee H^1(\tilde{\Omega}).$$

Z Rellichovy věty a z toho, že $\Gamma_h \rightarrow \Gamma$ (viz (ii)) plynne, že $u = \tilde{u}|_{\tilde{\Omega} \setminus \tilde{\Omega}_0} = 0$ na Γ . Potřebujeme nyní ukázat, že funkci $u + \mathcal{D}_0$ řeší úlohu $(P(g))$. Důkaz probíhá stejně jako v [1], str. 47-52. Jediný rozdíl navíc je

ve výskytu členu $(\tilde{q}_h, \varphi_h)_h \stackrel{\text{def.}}{=} \int_{\partial\Omega_0^h} \tilde{q}_h \varphi_h \, ds$.

Užijeme-li Lemma 3.1 (viz za touto větou) uvidíme, že pokud $\tilde{q}_h \rightarrow q$ (ve smyslu (vi)), $\tilde{q}_h \rightarrow \tilde{q}$ silně v H^1 a platí (ii), pak

$$\int_{\partial\Omega_0^h} \tilde{q}_h \varphi_h \, ds \rightarrow \int_{\partial\Omega_0} q \varphi \, ds \quad (\varphi_h = \tilde{q}_h|_{\partial\Omega_0^h}, \varphi = \tilde{q}|_{\partial\Omega_0}).$$

Důkaz toho, že $\varphi \in U_{ad}$ řeší (P) probíhá stejně, jako v [1] str. 51, 52.

Lemma 3.1. Bud $(\bar{\gamma}_h, \varphi_h)_h \equiv \int_{\partial\Omega_0^h} \bar{\gamma}_h \varphi_h ds$
Nechť platí (i), (ii) a dále

$$\begin{array}{ll} \bar{\gamma}_h \rightarrow \bar{\gamma} & (\text{slabě}) \text{ (ve smyslu (vi))} \\ \varphi_h \rightarrow \varphi & (\text{silně}) \text{ (ve smyslu (v))} \end{array}$$

Pak

$$(\bar{\gamma}_h, \varphi_h)_h \rightarrow (\bar{\gamma}, \varphi) \equiv \int_{\partial\Omega_0} \bar{\gamma} \varphi ds.$$

Důkaz. $(\bar{\gamma}_h, \varphi_h)_h$ můžeme psát jako součet konečně-mnoha (nezávisle na h) integrálů tvaru

$$\int_{-\Delta}^{\Delta} (\bar{\gamma}_h \circ \alpha_h)(\varphi_h \circ \alpha_h) \sqrt{1 + (\alpha'_h)^2} dx_1.$$

Zřejmě stačí ukázat, že $(\varphi_h \circ \alpha_h) \sqrt{1 + (\alpha'_h)^2} \rightarrow (\varphi \circ \alpha) \sqrt{1 + (\alpha')^2}$ silně v $L^2(-\Delta, \Delta)$. Pišme pro jednoduchost φ_h , resp. φ místo $\varphi_h \circ \alpha_h$, resp. $\varphi \circ \alpha$. Pak

$$(12) \quad \varphi_h^2(1 + (\alpha'_h)^2) - \varphi^2(1 + (\alpha')^2) = \varphi_h^2(1 + (\alpha'_h)^2) + \varphi^2(1 + (\alpha'_h)^2) - \varphi^2(1 + (\alpha')^2) = (\varphi_h^2 - \varphi^2)(1 + (\alpha'_h)^2 + \varphi^2((\alpha'_h)^2 - (\alpha')^2)).$$

Předchozí rovnost zintegrujeme v intervalu $(-\Delta, \Delta)$. Integrál z levé strany v (12) označíme I , integrály z jednotlivých sčítan- cù napravo v (12) jako I_1, I_2 . Je

$$|I_1| \leq C \int_{-\Delta}^{\Delta} |\varphi_h - \varphi| \cdot |\varphi_h + \varphi| dx_1 \leq C \|\varphi_h - \varphi\|_{L^2(-\Delta, \Delta)} \rightarrow 0,$$

když jsem užili (i) a předpokladu Lemmatu.

Podobně

$$|I_2| \leq C \int_{-\Delta}^{\Delta} |\alpha'_h - \alpha'| |\alpha'_h + \alpha| dx_1 \leq C \|\alpha'_h - \alpha'\|_{L^2(-\Delta, \Delta)} \rightarrow 0, \quad h \rightarrow 0+$$

4. Řešení úlohy identifikace tepelných toků na počítači

V této kapitole popíšeme implementaci metody identifikace tepelných toků, obsažené v předešlé zprávě [1].

Navržená implementace má modulární strukturu a lze v ní využít běžných podprogramů pro práci s konečnými elementy. Program popsany v této zprávě používá některé podprogramy z [2, 3], které pracují s lineárními konečnými prvky.

4.1 Formulace úlohy

Nechť je dáno (viz obr. 4 ; rozměry jsou v mm, jde o modelový příklad):

- oblast Ω (řez formou)
- rozdělení hranice $\partial\Omega = \Gamma_1 \cup \Gamma_2 \cup \Gamma_3$,
- $\mu(\Gamma_i \cap \Gamma_j) = 0, i \neq j,$ kde
- Γ_1 je hranice s odlitkem
- Γ_2 je hranice chladicích otvorů
- Γ_3 je hranice s okolním prostředím
- koeficient $\alpha(x)$ v rovnici vedení tepla, tj. teplotní vodivost
- naměření a interpolované hodnoty $\vartheta_0(x), x \in \bar{\Omega}$ (uzávěr oblasti Ω). Předpokládáme, že tato funkce je dostatečně hladká, $\vartheta_0|_{\Omega} \in H^1(\Omega)$.

Na hranici Γ_1 je neznámá intenzita tepelného toku, která se má určit:

$$(1) \quad \alpha \frac{\partial \vartheta}{\partial n} = \gamma, \quad x \in \Gamma_1$$

(Neumannova podmínka).

Na Γ_2 je zadána teplota

$$(2) \quad \vartheta|_{\Gamma_2} = \vartheta_0|_{\Gamma_2}$$

(Dirichletova podmínka).

Na Γ_3 je zadán průnik tepla do okolního prostředí, vyjádřený Newtonovou podmínkou

$$(3) \quad \alpha \frac{\partial \vartheta}{\partial n} = \alpha_k (\vartheta_{okolí} - \vartheta), \quad x \in \Gamma_3,$$

kde α_k je součinitel přestupu tepla konvekcí a $\vartheta_{okolí}$ je teplota okolí.

Rovnice vedení tepla je

$$(4) \quad -\operatorname{div}(\alpha \nabla \vartheta) = 0 \quad \text{v } \Omega$$

s okrajovými podmínkami (1, 2, 3).

Dále nechť je dána množina přípustných hustot tepelných toků

$$(5) \quad \left\{ \begin{array}{l} U_{ad} = \{ \gamma \in L^\infty(\Gamma_1); C_1 \leq \gamma(x) \leq C_2 \text{ s.v. } \forall \Gamma_1, \\ C_3 \leq \int \gamma \, ds \leq C_4 \} \end{array} \right.$$

a účelový funkcionál

$$(6) \quad J(\gamma) = \frac{1}{2} \| \vartheta(\gamma) - \vartheta_0 \|_{P,2}^2,$$

kde $\mathcal{V}(\psi)$ je řešení rovnice (4) s okrajovými podmínkami (1, 2, 3) a norma $\|\cdot\|_{p,q}$ je definována vztahem

$$(7) \quad \|\psi\|_{p,q}^2 = \int_{\Omega} (p \cdot \nabla \psi \cdot \nabla \psi + q |\psi|^2) dx.$$

Pro $p = q = 1$ dostáváme H^1 normu, a pro $p=0, q=1, L^2$ normu. Obecně mohou být p, q funkce bodu $x, p, q \in C^1(\bar{\Omega})$ (hladkost je třeba vzhledem k použití integrační formule v metodě konečných prvků).

Úloha identifikace zní:

Najít $\psi \in U_{ad}$ tak, aby $J(\psi)$ bylo minimální.

Jde tedy o úlohu identifikace se stavovou rovnici (4) s okrajovými podmínkami (1, 2, 3).

4.2. Řešení metodou konečných prvků

Definujme prostor

$$V = \{v \in H^1(\Omega) ; v|_{\Gamma_2} = 0\}.$$

Stavová úloha (1, 2, 3, 4) má variační formulaci

$$(8) \quad \left\{ \begin{array}{l} \mathcal{V} - \mathcal{V}_0 \in V, \\ \int_{\Omega} a \cdot \nabla \mathcal{V} \cdot \nabla w dx + \int_{\Gamma_3} \alpha_k \mathcal{V} w ds = \\ \qquad \qquad \qquad = \int_{\Gamma_1} g w ds + \int_{\Gamma_3} \alpha_k \mathcal{V}_{okolí} w ds \end{array} \right.$$

pro každé $w \in V$.

Tuto úlohu approximujeme lineárními konečnými prvky.

Nejdříve approximujeme oblast Ω polygonální oblastí Ω_h .

Ze zadání úlohy (obr. 4) je zřejmé, že příslušné části hranice $\Gamma_1^h, \Gamma_2^h, \Gamma_3^h$ lze volit jako sjednocení úseček tvořících hranici Ω_h .

V oblasti Ω_h nechť je dána konformní triangulace $\{T_i\}$, tj.

$$\bar{\Omega}_h = \bigcup T_i,$$

a každé dva trojúhelníky T_i, T_j , $i \neq j$ jsou buď disjunktní, nebo mají společnou právě jednu hranu, nebo právě jeden vrchol.

Definujme nyní prostor konečných prvků

$$V_h = \left\{ v \in V \cap C^0(\bar{\Omega}) ; \quad v \text{ je lineární na všech trojúhelnících } T_i \right\}.$$

V našem modelovém příkladu byla provedena následující zjednodušení:

- chladicí otvory jsou čtvercového průřezu
- oblast je symetrická podle os σ_1 a σ_2 (viz obr. 4). Stačí tedy počítat s jednou čtvrtinou oblasti (na obr. 4 vyšrafováno).

Dostíváme tedy oblast podle obr. 5, kde je rovněž ukázána použitá triangulace.

Na části hranice vzniklé myšleným rozříznutím Ω je z důvodů symetrie homogenní Neumannova podmínka. Tato zjednodušení jsou obsažena pouze v datech modelového problému, na kterém jsme program testovali, program sám je na tvaru oblasti nezávislý.

Funkce z U_{ad} approximujeme funkcemi z množiny

$$U_{ad}^h = \left\{ \chi_h \in U_{ad} ; \quad \varphi|_{(T_i \cap \Gamma_1^h)^o} = \text{const.} + T_i \right\},$$

kde $(T_i \cap \Gamma_1^h)^o$ je vnitřek úsečky, která je průnikem trojúhelníku T_i a hranice Γ_1^h .

Položme

$$(9) \quad t_h = \sum T_j \omega_j \in V_h,$$

$$(10) \quad \gamma_h = \sum F_j \chi_j \in U_{ad}^h,$$

kde ω_j, χ_j jsou bázické funkce v V_h , resp. U_{ad} , ω_j v částech lineární, χ_j po částech konstantní.

Stavová úloha (8) má diskrétní approximaci:

Najít $t_h = t_h(\gamma_h) \in V_h$ tak, aby

$$(11) \quad \int_{\Omega_h} a \nabla t_h \nabla v_h dx + \int_{\Gamma_3} \alpha_k t_h v_h ds = \\ = - \int_{\Gamma_3} \alpha_k t_{oh} v_h ds + \int_{\Gamma_1} \gamma_h v_h ds - \int_{\Omega_h} a \nabla t_{oh} \nabla v_h dx + \\ + \int_{\Gamma_3} \alpha_k t_{okolí} v_h ds \quad \forall v_h \in V_h,$$

kde $t_{oh} = \vartheta_0$ v uzlech hranice Γ_2
 $t_{oh} = 0$ v ostatních uzlech Ω_h a
 $t_{okolí}$ je approximace $\vartheta_{okolí}$.

Pak definujeme

$$(12) \quad \vartheta_h(\gamma_h) = t_{oh} + t_h(\gamma_h).$$

Úloha (11) je ekvivalentní soustavě lineárních rovnic

$$(13) \quad AT = BF + b,$$

kde T a F jsou vektory koeficientů v rozvojích (9, 10),

$A = (A_{ij})$ je matice tuhosti,

$$A_{ij} = \int_{\Omega_h} \alpha \nabla \omega_i \cdot \nabla \omega_j dx + \int_{\Gamma_3} \alpha_k \omega_i \omega_j ds$$

$B = (B_{ij})$ je matice integrační formule na Γ_1 s průky

$$B_{ij} = \int_{\Omega_h} \omega_i \chi_j ds,$$

a $b = (b_i)$ je vektor pravé strany s průky

$$b_i = - \int_{\Omega_h} \alpha \nabla t_{oh} \cdot \nabla \omega_i dx + \int_{\Gamma_3} \alpha_k t_{oh} \omega_i ds -$$

$$- \int_{\Gamma_3} \alpha_k t_{oh} v_h ds.$$

Účelový funkcionál (3) má diskrétní approximaci

$$(14) \quad J_h(y_h) = \frac{1}{2} \sum_j \| (\mathcal{V}_h(y_h) - \mathcal{V}_{oh}) \|_{P,Q}^2$$

kde $\mathcal{V}_{oh} = \mathcal{V}_o$ v uzlech triangulace a \mathcal{V}_{oh} je lineární na všech elementech T_i .

S použitím rozvoje (9) a vztahů (6, 7, 12, 13, 14) dostaneme

$$(15) \quad J_h(\varphi_h) \stackrel{\text{def}}{=} \hat{J}(T) = \frac{1}{2} (T - T_0)^T C (T - T_0),$$

kde T_0 je vektor koeficientů v $\vartheta_{oh} = t_{oh} + \sum T_{0j} \omega_j$,
a $C = (C_{ij})$ je matice s prvky

$$C_{ij} = \int_{\Omega_h} (\rho \nabla \omega_i \nabla \omega_j + q \omega_i \omega_j) dx.$$

Poznámka 1.

Je důležité si uvědomit, že C je matice tuhosti pro úlohu

$$(16) \quad u \in V; \int_{\Omega} (\rho \nabla u \nabla v + q u v) dx = 0, \quad \forall v \in V,$$

pro danou triangulaci Ω .

Poznámka 2.

Výše uvedené integrály se v programu počítají pomocí integrační formule s uzly v tříštičtích trojúhelníků.

Numerická úloha tedy zní

$$(17) \quad J(F) = \frac{1}{2} (T - T_0)^T C (T - T_0) \rightarrow \min.,$$

kde T je určeno ze soustavy lineárních rovnic

$$AT = BF + b.$$

Kvadratický funkcionál J se minimalizuje za podmínek daných nerovnostmi

$$\varphi_h \in U_{ad}^h.$$

Gradient J spočítáme z pravidla o složeném derivování (připomeňme, že matice A a C jsou symetrické, a že gradient je funkcionál, tedy řádkový vektor):

$$\begin{aligned}\text{grad } J(F) &= \frac{\partial J}{\partial T} \cdot \frac{\partial T}{\partial F} \\ &= (T - T_0)^T C A^{-1} B,\end{aligned}$$

tedy

$$(18) \quad (\text{grad } J)^T = B^T A^{-1} C (T - T_0),$$

kde

$$(19) \quad T = A^{-1} (BF + b).$$

Algoritmus 1. Pro dané koeficienty intenzit toků F se spočítají koeficienty teploty T podle (19), pak $J(F)$ podle (17) a gradient podle (18).

Program pro minimalizaci vyvolá v každém kroku tento algoritmus.

Poznámka 3.

K vytvoření matic A, C , vektoru b a při násobení inverzní maticí A^{-1} lze použít libovolný vhodný programový produkt pro práci s konečnými elementy. Matice C lze vytvořit použitím podprogramu pro sestavení matice tuhosti na úlohu (16).

4.3. Popis programu

Fro vytvoření matic A, C a vektoru b jsme použili upravenou část programu KACMET z [2, 3]. K násobení inverzní matice A^{-1} jsme s výhodou podprogram MCHB (standartrní knihovna podprogramů IBM) pro řešení soustavy lineárních rovnic se symetrickou pásovou maticí pomocí Choleskyho dekompozice.

K násobení symetrické pásové matice a vektoru, potřebnému ve výpočtu výrazů (17, 18), jsme vytvořili podprogram MULTB. Násobení maticemi B a B^T je jednoduché a je vloženo na příslušných místech přímo do programu. Přirozeně, že nemá smysl matici B uklídat explicitně. Pomocí těchto podprogramů je implementován výpočet hodnoty účelového funkcionálu a jeho gradientu (Algoritmus 1) v podprogramu COMPF. Tento výpočet je poměrně rychlý. Choleskyho dekompozice se počítá pouze při prvním vyvolání (inicializační větev, viz níže). Přesto se užáhalo jako výhodné vyvolat nejdříve COMPF pro $F=0, F=\lambda e^i$ (e^i i-ty jednotkový vektor, $i=1, \dots, \text{počet bázických funkcí v } U_{ad}, \lambda \neq 0$). Koefficient λ se zavádí proto, že hodnota $\lambda=1$ nemusí vyhovovat s ohledem na zaokrouhlovací chyby. Tím dostíváme matici \tilde{A} a vektor G takový, že

$$J(F) = \frac{1}{2} F^T \tilde{A} F - G^T F.$$

Platí totiž, že

$$\text{grad } J(0) = -G^T$$

$$(\text{grad } J(\lambda e^i))^T + G = \lambda - \text{ty sloupec } \tilde{A} \cdot \lambda$$

Protože matice \tilde{A} je velmi špatně podmíněná, programu umožňuje pracovat obecně s regularizovaným funkcionálem

$$(20) \quad J_\epsilon(F) = \frac{1}{2} F^T (\tilde{A} + \epsilon N) F - G^T F, \quad \epsilon \geq 0,$$

kde N je matice odpovídající normě v $L^2(\Gamma_1)$,

$$\text{tj. } N = (n_{ij}), \quad n_{ij} = \int_{\Gamma_1} \chi_i \chi_j ds.$$

Modnota a gradient funkcionálu se pak počítají přímo z (20). Minimalizace $J_\epsilon(F)$ na množině $\{F; \sum F_i x_i \in U_{ad}\}$ je realizována knihovní procedurou VECOLA (Harwell Subroutine Library), která se volá prostřednictvím podprogramu SOLVE.

Struktura volání podprogramů je na obr. 6. Poznamenejme, že VECOLA a SEZNAL obsahují další podprogramy (na obrázku již nezachycené).

4.4 Soubory

- 1, 2 - pracovní
- 5 - vstupní data
- 6 - tisk

4.5 Programové moduly

MAIN

V tomto hlavním programu se najprve provede načtení základních materiálových konstant a teploty okolí (shodné s teplotou chladícího media), které se předají podprogramu HELP v COMMON oblasti MATER. Poté se vyvolá inicializační větev podprogramu COMPF (viz dále) kde se mimo jiné vypočte podle předem zadaných toků požadovaná teplota T_o (která při skutečné identifikaci bude výsledkem měření na reálném objektu). Teplota T_o se potom poruší pseudonáhodnými poruchami s rovnoramenným rozlo-

žením a zvolenou amplitudou. Pak se pomocí hodnot $\text{grad } J(0)$ a $\text{grad } J(x_0)$ spočte vektor G a matice \tilde{A} (viz odst. 3.1). Zároveň se pomocí $J(0)$ a $J(\lambda_0 x_0)$ kontroluje správnost výpočtu gradiéntu.

Hodnota λ by měla být volena asi tak, aby tok $\lambda \cdot ds_i$ (ds_i délka i-té části hranice Γ_1) byl srovnatelný s předpokládanou hodnotou toku přes Γ_1 . Naopak $\lambda_0 > 0$ by mělo být co nejmenší, avšak s ohledem na zaokrouhlovací chyby ne příliš.

Dále se matice \tilde{A} modifikuje podle (20) na $\tilde{A} + \epsilon N$ a spočte se (z nutných podmínek pro extrém = soustava Lin. algebraických rovnic) $\text{Arg inf } J_\epsilon(F)$, tj. řešení úlohy bez omezení $F \in U_{ad}$. Pak se vyvolá podprogram SOLVE. Naposledy uvedené úlohy je možno libovolněkrát řešit pro různé hodnoty ϵ .

SUBROUTINE SOLVE

Sestaví data pro podprogram VECIA. Načítají se 4 čísla charakterizující množinu U_{ad} , totiž horní a dolní mez hustoty toku přes Γ_1 a horní - dolní mez pro tok přes Γ_1 .

Počáteční hustota toku se stanoví automaticky a přitom jsou z U_{ad} je-li $U_{ad} \neq \emptyset$. Řešení odpovídající optimálním hustotám toků se nakonec počítá a tiskne pomocí podprogramu COMPF.

SUBROUTINE FUNCT

Výpočet $J_\epsilon(F)$ a $\text{grad } J_\epsilon(F)$.

SUBROUTINE VECIA

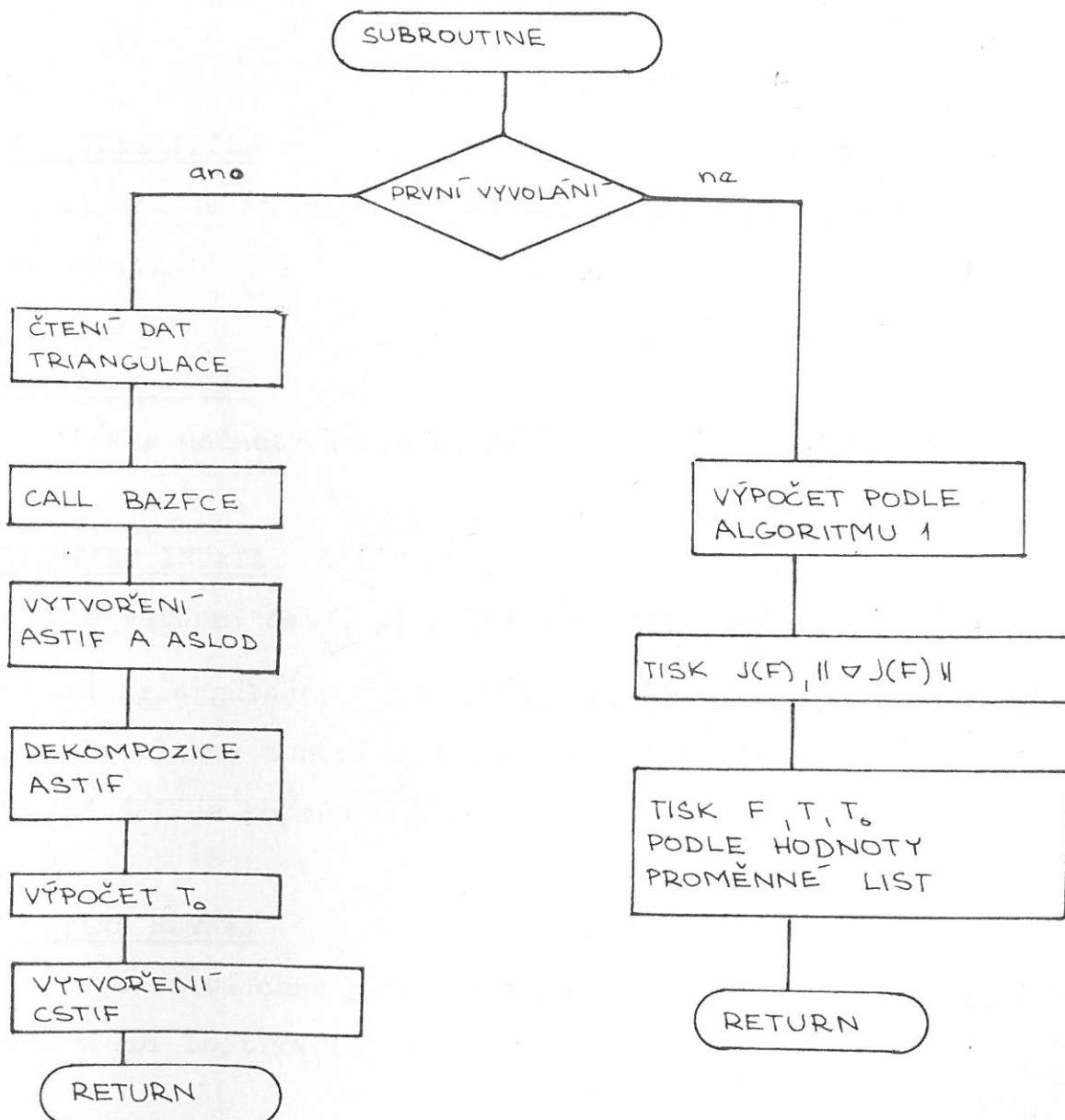
Minimalizace hladké funkce za lineárních omezení

SUBROUTINE INXEYE

Zadívá x-ové a y-ové souřadnice bodů pomocí kterých jsou definovány makroelementy. (Tím se obchází nutnost výpočtu těchto souřadnic ručně v případě zadávání ze štítků).

SUBROUTINE COMPE

Realizuje Algoritmus 1 (viz výše). Všechny dležité proměnné a pole (i použité v podřízených podprogramech) jsou dostatečně popsány v poznámkových štítcích.



Označení v programu	Označení ve vzorcích
ASTIF	A
CSTIF	C
ASLOD	b
FLOW	F
GRAD	grad J(F)
VALUE	J(F)
T	T
TØ	T _o

SUBROUTINE TITLE

Tiskne se na novou stránku hlavičku výpisu, který bude následovat.

SUBROUTINE FLUXE

Tiskne hodnoty derivací řešení.

SUBROUTINE INDATA

Čte vstupní data, případně volá GRID pro automatické generování triangulace. Volá SEZNAL pro optimalizaci očíslování uzlů, aby matice tuhosti měla co nejmenší šířku pásu. Způsob zadávání dat je popsán níže.

SUBROUTINE ROVNEJ

Přerovná všechna pole indexovaná číslly uzlů podle očíslování v IDL (optimalizované pomocí SEZNAL)

SUBROUTINE HELP

Do parametru ZPET dává koeficienty rovnice a okrajových podmínek. Při **ISW=1** se generuje matice **A**, při **ISW=2** matice **C**. V prvním případě se na místě Dirichletovy podmínky zadává funkce **D₀** (na hranici je totožná s Dirichletovou podmínkou).

SUBROUTINE BAZFCE

Uklidá do souboru 2 hodnoty, které se později využijí při výpočtu derivací na elementech a plochy elementů.

SUBROUTINE STIFFP

Ze souboru 2 čte připravené hodnoty, vytváří lokální matice tuhosti a pravé strany na elementech, a ukládá je do souboru 1.

SUBROUTINE ASMBLE

Z dat na souboru 1 vytváří globální matici tuhosti a vektor pravých stran.

SUBROUTINE XDOT

Vektor koeficientů doplňuje o hodnoty Dirichletových podmínek do tvaru, vhodného pro tisk.

SUBROUTINE TIMEOP

Tiskne zadaný vektor indexovaný čísly uzlů.

SUBROUTINE MULTB

Násobí symetrickou pásovou matici, jejíž horní polopás je uložen po řádcích, s obecným vektorem.

SUBROUTINE GRID

Generuje triangulaci podle zadaných parametrů. Možnosti původního programu byly rozšířeny v tom smyslu, že když je první členě číslo (tj. počet makroelementů) udáno záporně, pak se vynechá čtení souřadnic uzlů a vezmou se souřadnice vložené do polí **XE, YE** (zde podprogramem INXYE).

SUBROUTINE SEZNAL

Optimalizuje očislování uzlů tak, aby byla co nejmenší šířka pásu matice tuhosti.

Další podrobnosti o podprogramech GRID a SEZNAL lze nalézt v [2, 3].

4.6. Omezení programu

Počet uzlů 200 (u GRID a SEZNAL 400)

Počet elementů 260

Počet identifikovaných toků 20

Pokud by bylo třeba řešit větší úlohy, je třeba zvětšit meze polí v MAIN, COMPF, FLUXE, SOLVE, FUNCT a pro více než 400 uzlů i v GRID a SEZNAL.

4.7. Modelový příklad a ukázka zadávání dat

Geometrie a použitá triangulace v modelovém příkladu jsou patrný z obr. 4 a 5. Síť byla generována poloautomaticky programem GRID. Za tím účelem byla oblast rozdělena na 8

makroelementů. V okolí chladících otvorů byla síť poněkud zahuštěna, čehož bylo dosaženo posunutím dělících bodů na stranách makroelementů směrem ke chladícím otvorům (poměr 2 : 1).

Detailní způsob použití GRIDu zde popisován nebude (lze jej nalézt v [2, 3]). Dále byly zvoleny tyto parametry: (všechny jednotky jsou zásadně v SI, teploty jsou ve stupních Celsia).

teplotní vodivost $\alpha(x) = 38 \text{ kgms}^{-3}\text{K}^{-1}$,

součinitel přestupu tepla konvekcí $\omega_k = 35 \text{ kg s}^{-3}\text{K}^{-1} (\text{Wm}^{-2}\text{K}^{-1})$,

teplota okolí $\bar{\sigma}_{okol} =$ teplota chladícího média $\bar{\sigma}_0|_{\Gamma_2} = 20^\circ\text{C}$,

hustota toku přes Γ_1 , podle které se generuje $\bar{\sigma}_0$ byla

$\bar{\gamma}_0 = 99 \cdot 10^3 \text{ kgs}^{-3}$ (čemuž odpovídají teploty na hranici

Γ_1 řádově 300°C).

Norma v (1.6) byla použita s $p=0, q=1$, tedy norma v $L^2(\Omega)$.

Jednak to patrně lépe vystihuje náhodné perturbace $\bar{\sigma}_0$

(viz popis MAINu), jednak v případě $p>0, q=1$ není zcela zřejmé jakou hodnotu p zvolit.

Uvažujeme-li regularizovaný funkcionál

$$\mathcal{J}_\epsilon(\gamma) = \frac{1}{2} \|\bar{\sigma}(\gamma) - \bar{\sigma}_0\|_{L^2(\Omega)}^2 + \epsilon \|\gamma\|_{L^2(\Gamma_1)}^2$$

$$\bar{\sigma}_0 = \bar{\sigma}(\bar{\gamma}_0) + \bar{\sigma}_P$$

(kde $\bar{\gamma}_0$ jsou předem zvolené toky a $\bar{\sigma}_P$ jsou náhodné perturbace), vzniká otázka jak v praxi volit parametr ϵ . Numerické experimenty ukazují, že řešení neregularizované úlohy, tj. s funkcionálem \mathcal{J}_0 , jsou dosti nestabilní. Např. při znalosti teploty v uzlových bodech s přesností 5% nemůžeme čekat přesnost v určení hustot toků lepší než 30% (pro geometrii a síť v modelovém případě). To patrně souvisí s tím, že \mathcal{J}_0 není koercitivní a stejnomořně konvexní ani na $H^{-1/2}(\Gamma_1)$. Naproti tomu \mathcal{J}_ϵ s $\epsilon > 0$ je koercitivní a také stejnomořně konvexní v $L^2(\Gamma_1)$.

Není ovšem vhodné volit ϵ příliš velké, protože řešení úlohy s J_ϵ , potom mají "málo" společného s původní úlohou.

Označme $\bar{J}_\epsilon = \inf J_\epsilon$. Zřejmě $J_0(y_\epsilon) \geq \inf J_0$.

Budeme se snažit volit ϵ tak malé, aby se $J_0(y_\epsilon)$ příliš nelišilo od optimální hodnoty $\inf J_0$. Pak zřejmě odchylka $\bar{J}(y_\epsilon)$ od J_0 je téměř minimální, což je účelem identifikace. Na druhé straně numerické experimenty ukazují že i tato malá ϵ již mají dobrý zhlažovací účinek na optimální hustoty toků, kde se pro příliš malá ϵ mají tendenci objevovat složky s vyššími frekvencemi. To vše je pro jednu konkrétní perturbaci \bar{v}_P o velikosti ± 10 K znázorněna na obr. 4. Obr. 4 a znázorňuje optimální hustoty toků bez přítomnosti poruch, tedy známe optimální řešení ($= y_0$) a vidíme, že zaokrouhlovací chyby dosahují hodnoty zhruba 0,7% (výpočty v jednoduché přesnosti). Na obr. 4 b, c, ... je znázorněno optimální řešení úlohy s poruchami pro různé hodnoty ϵ . Je zde vidět tendence k oscilacím pro malá ϵ a zhlažovací účinek ϵ . Na obr. 7 je znázorněna závislost $J_0(y_\epsilon)$ na ϵ . Dodejme, že v uvedených experimentech šlo o neomezenou optimalizaci a optimální řešení bylo získáno z nutných podmínek optimality tj. řešením soustavy lineárních rovnic. Při použití programu VEOIA pro omezenou minimalizaci bylo zjištěno, že pro neregularizovaný funkcionál dochází k selhání VEOIA z důvodu špatné podmíněnosti a nahromadění zaokrouhlovacích chyb, zatímco u regularizovaných funkcionálů proběhne minimalizace v pořádku, i když výsledky jsou značně nepřesné. Zdá se však, že při použití techniky regularizace by možná bylo vhodné omezení neuvažovat. (Snad také proto, že omezenost U_{ad} zaručí sice koercivitu, ale nikoli stejnoměrnou konvexitu, která je pro stabilitu

důležitá).

Na závěr uvedeme příklad zadávání dat (viz obr. 6). Jsou zde uvedeny všechny řídící štítky pro krok G0 a data, která nyní zhruba popíšeme:

1.řádek: $a_1 \alpha_k, \mathcal{V}_{okolí}$

2.řádek: počet identifikovaných toků, předepsaná hodnota toku \mathcal{V}_0 , hodnota λ pro výpočet matice \tilde{A}, λ_0 pro testování gradientu $\nabla J_0(0)$.

3.řádek: název úlohy

4.řádek: viz [2] (27 je počet uzlů ve kterých je zadána Dirichletova okrajová podmínka, 12 je počet hran na kterých je Newtonova okrajová podmínka).

5. - 21.řádek: data pro GRID, viz [2]. První číslo je udáno záporně, takže jsou vynechány souřadnice uzlů, které se zadávají v INXYE.

22. - 23.řádek: seznam uzlů, ve kterých je zadána Dirichletova podmínka

24. - 35.řádek: seznam trojúhelníků a hran (zadaných dvěma uzly) na kterých jsou zadány Newtonovy okrajové podmínky

36.řádek: hodnota pro kontrolu přesnosti Choleskyho dekompozice

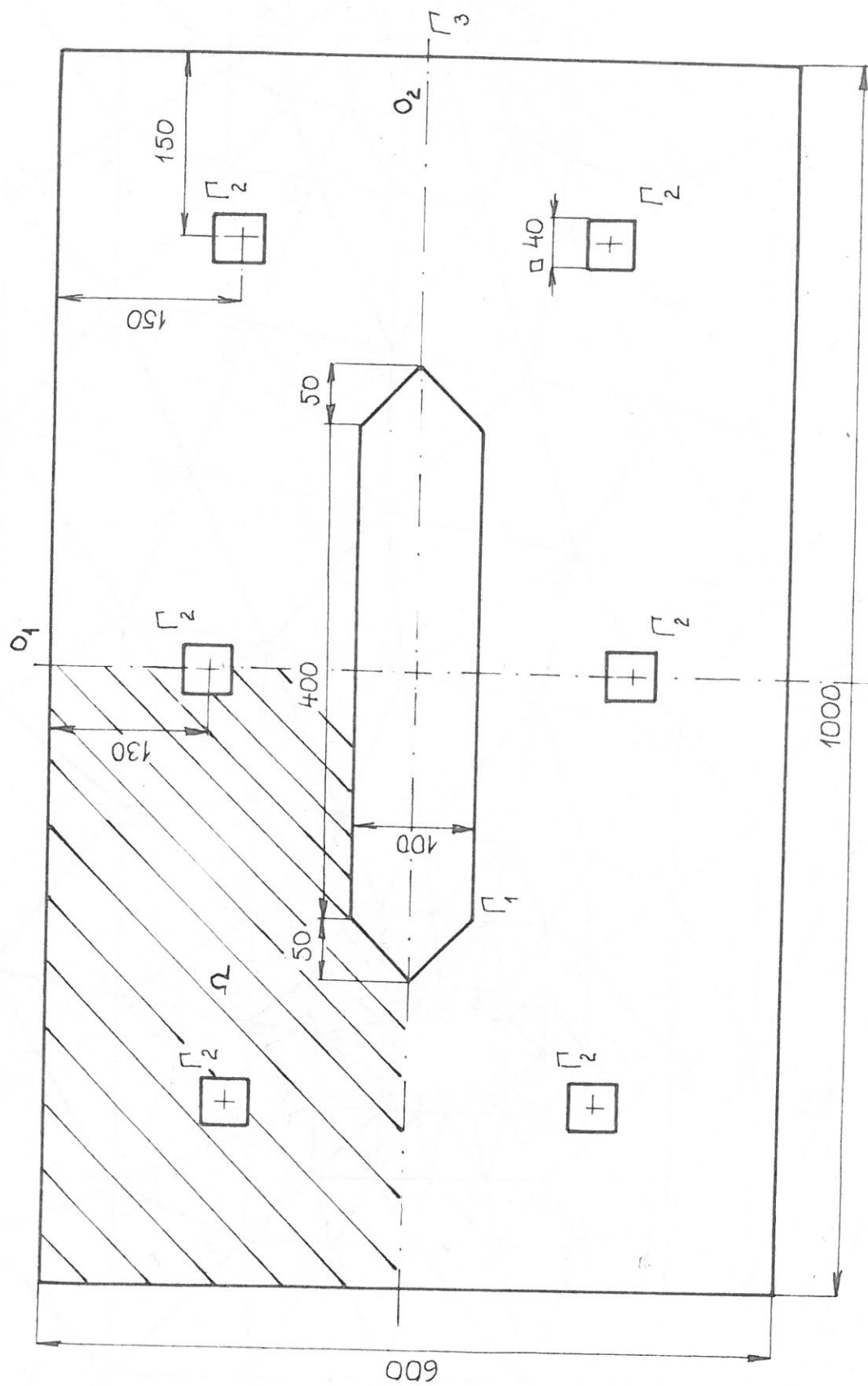
37.řádek: seznam uzlů určujících hranici Γ_1

38.řádek: seznam generátoru pseudonáhodných čísel a velikost perturbací \mathcal{V}_P .

39.řádek: regularizační parametr ϵ

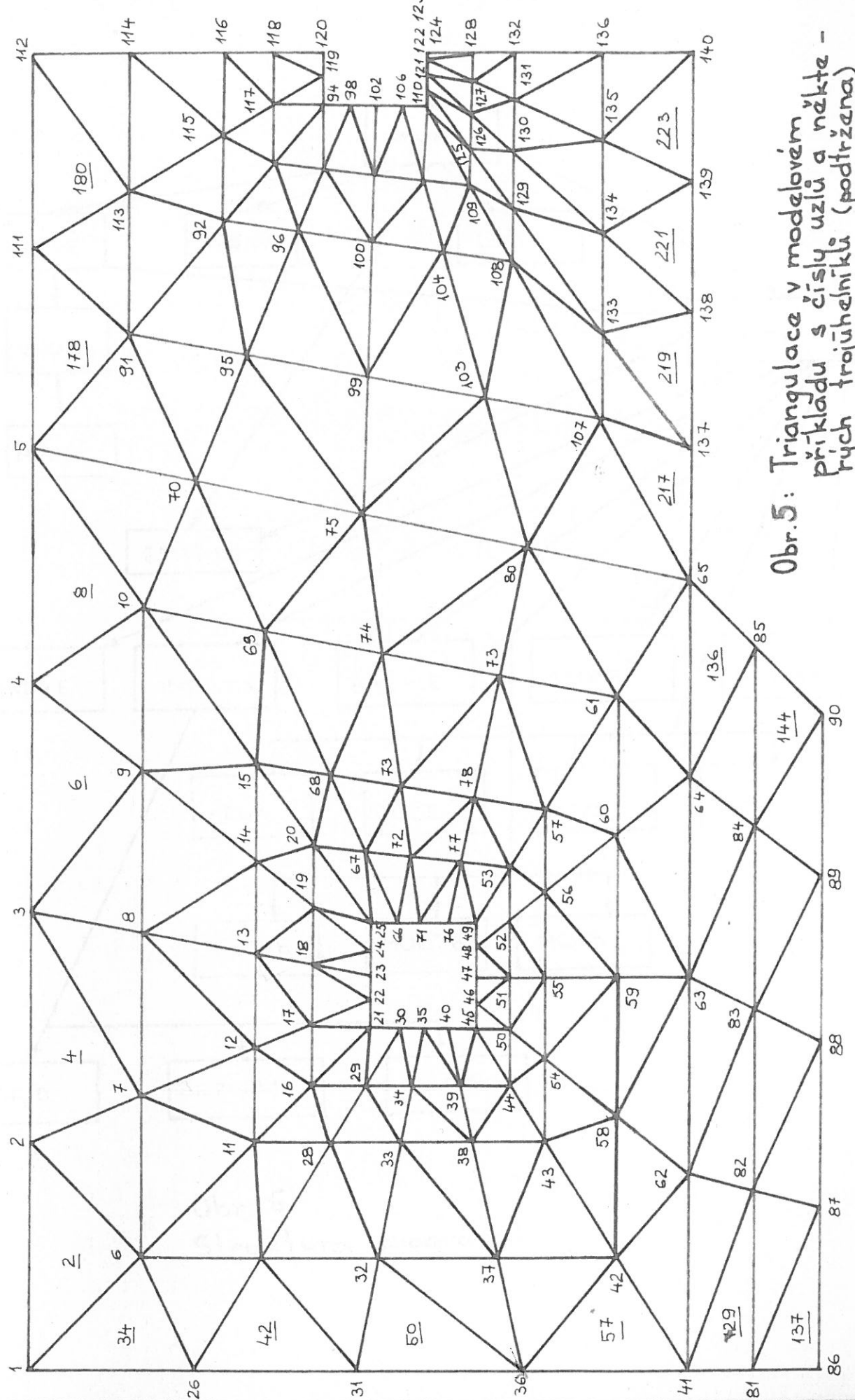
40.řádek: parametry určující U_{ad} , tj. horní a dolní mez pro hustotu toků a horní a dolní mez pro celkový tok

41. - 43.řádek: stejný význam jako předchozí trojice řídků, která se může eventuelně libovolněkrát opakovat.

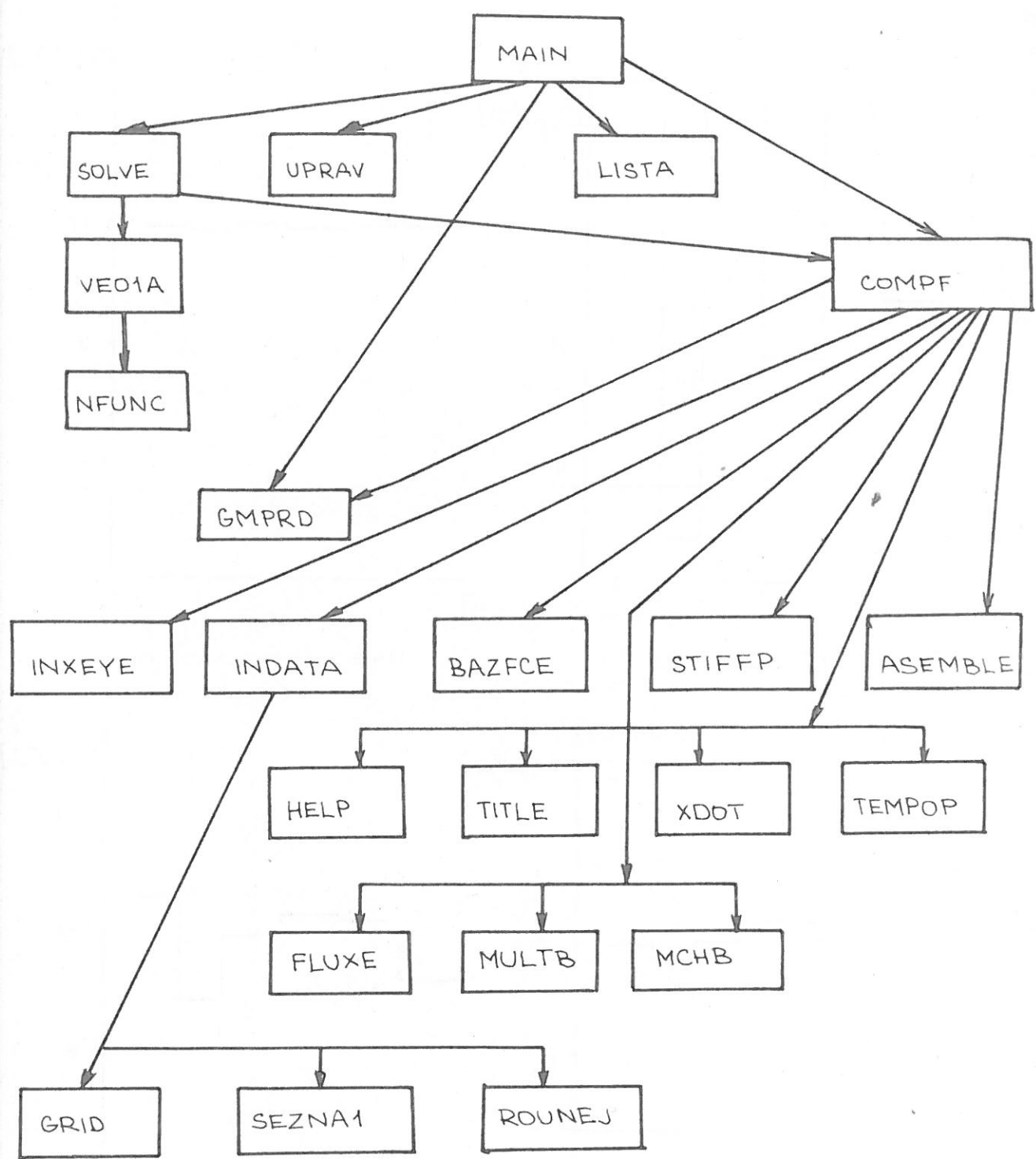


Obr.4 Geometrie modelového příkladu

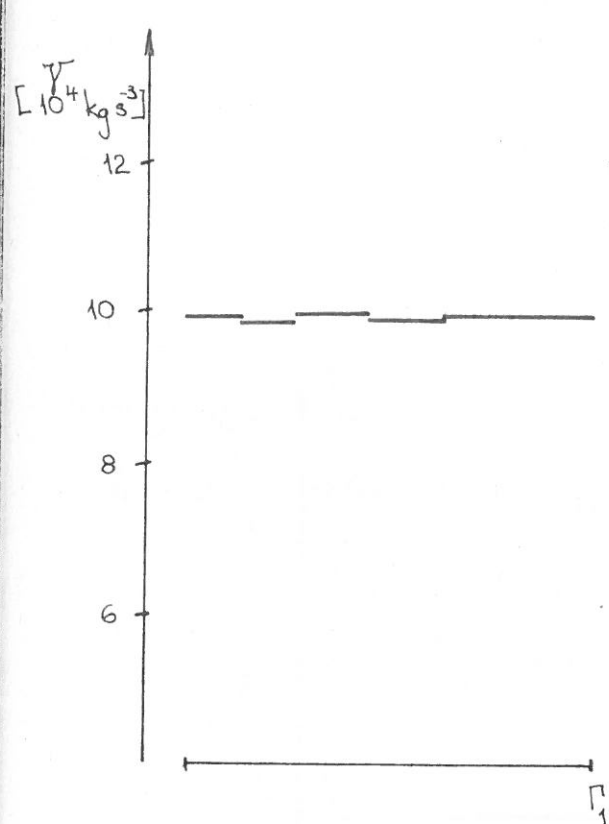
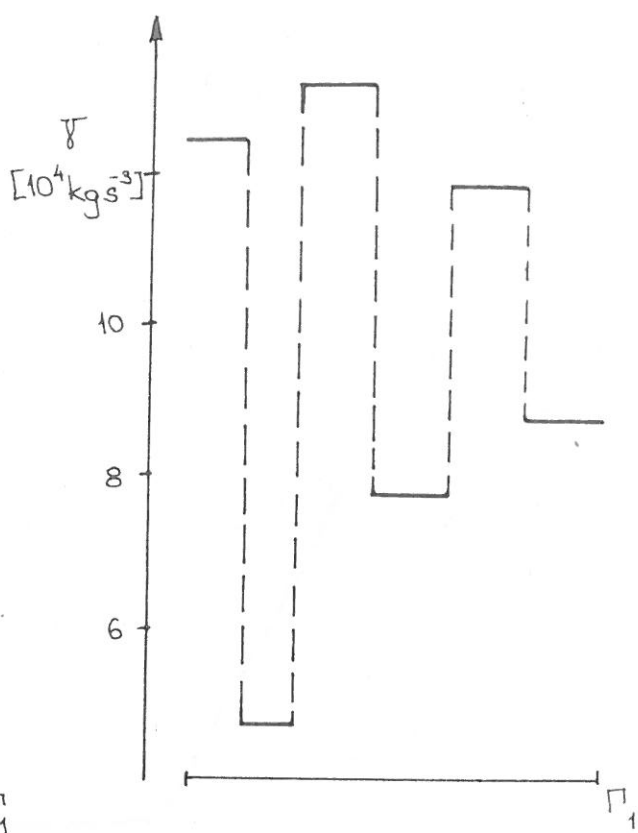
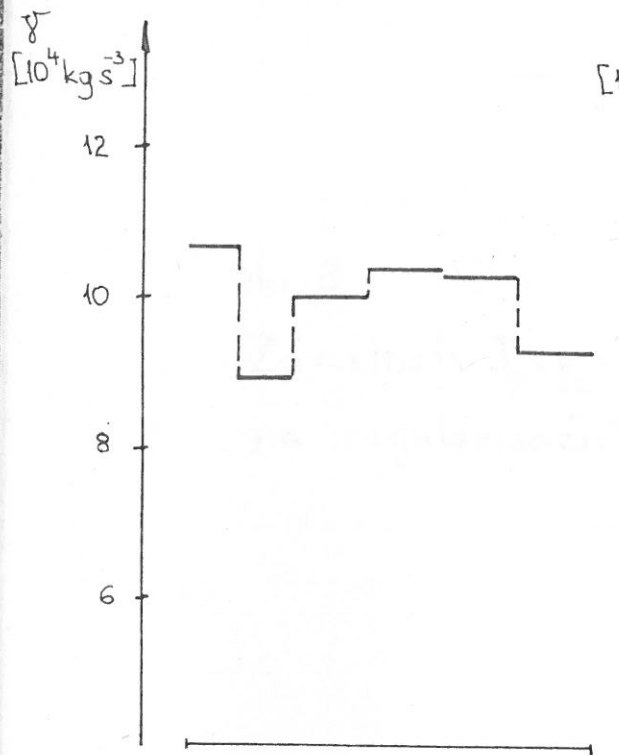
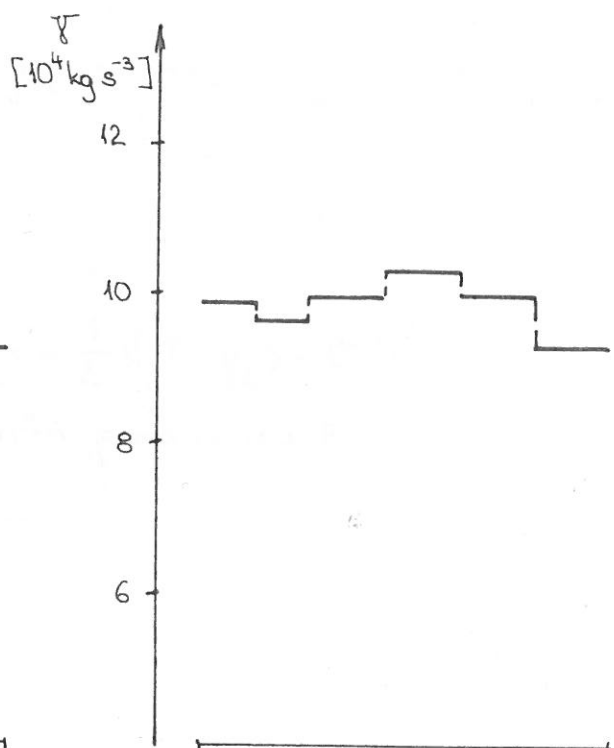
Pozn: těleso je
středově symetrická

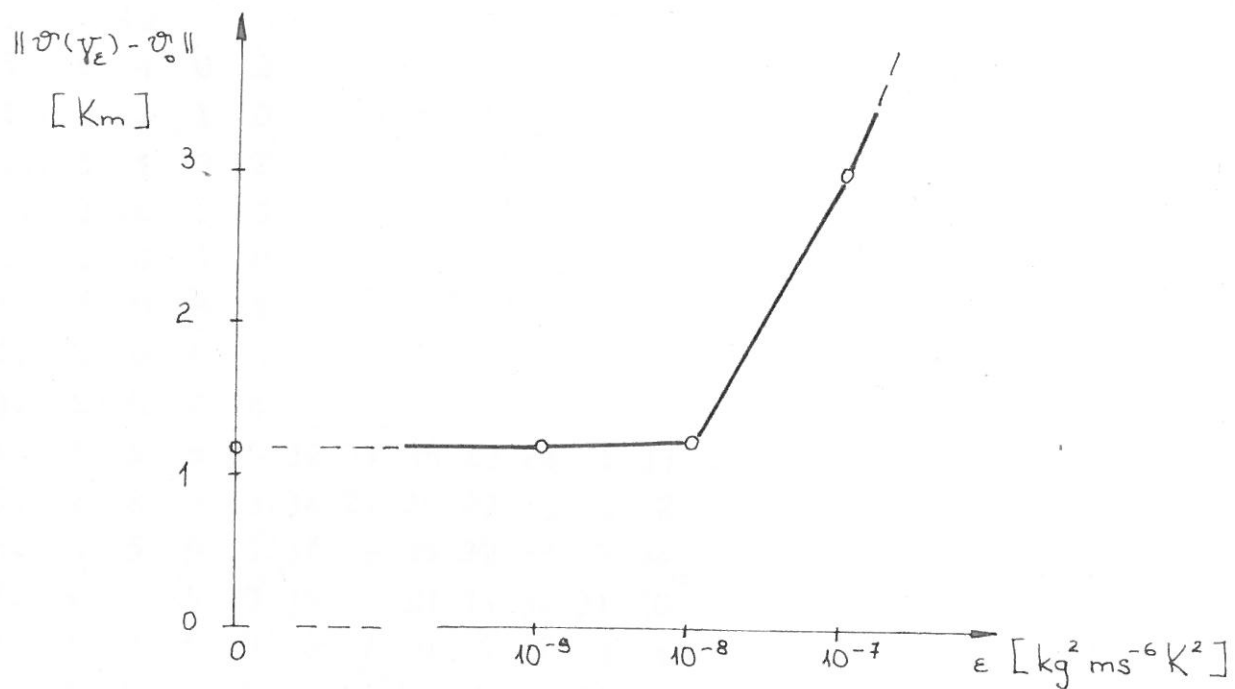


Obr. 5: Triangulace v modelovém
příkladu s čísly uzlů a nákta -
příčných trojúhelníků (podtržena)



Obr. 6
Struktura programu

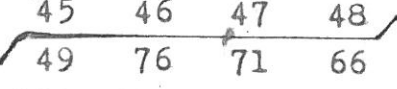
a) bez poruch, $\varepsilon = 0$ b) poruchy $\pm 10\text{K}$, $\varepsilon = 0$ c) poruchy $\pm 10\text{K}$, $\varepsilon = 10^{-9} \text{ kg}^2 \text{ ms}^{-6} \text{ K}^2$ d) poruchy $\pm 10\text{K}$, $\varepsilon = 10^{-8} \text{ kg}^2 \text{ ms}^{-6} \text{ K}^2$ Obr. 7 : Hustoty toku na Γ_1



Obr. 8

Závislost $J_0(\gamma_\epsilon) = \frac{1}{2} \|v(\gamma_\epsilon) - v_0\|^2$
na regularizačním parametru ϵ .

//GO.FT01FO01 DD UNIT=DISK,DISP=(NEW,DELETE),
// DCB=RECFM=VSB,BLKSIZE=1000),SPACE=(1000,(20,20),RLSE)
//GO.FT02FO01 DD UNIT=DISK,DISP=(NEW,DELETE),
// DCB=(RECFM=VSB,BLKSIZE=1000),SPACE=(1000,(20,20),RLSE)
//GO-SYSIN DD *

1. 38.00 35.00 20.00
2. 6 99000.00 500000.00 500.00
3. IDENTIFIKACNI ULOHA
4. 1 0 0 27 1 0 0 12 1
5. -8 40
6. 0 4 0 2
7. 3 0 1 0
8. 5 4 0 2
9. 3 6 1 0
10. 0 0 3 0
11. 8 0 7 4
12. 0 0 0 6
13. 0 0 0 6
14. 1 5 5 25 32 31 36 23 24 1 33
15. 2 5 5 3 34 27 26 25 33 1 2
16. 3 5 5 3 37 9 35 29 28 27 34
17. 4 5 5 29 35 9 38 23 36 31 30
18. 5 3 5 5 6 7 8 9 37 3 4
19. 6 5 5 9 40 15 16 17 39 23 30
20. 7 5 3 17 18 19 20 21 22 23 39
21. 8 5 5 9 10 11 12 13 14 15 40
22. 21 22 23 24 25 30 35 40 
45 46 47 48
49 76 71 66
23. 94 98 102 106 110 121 122 123 124 119 120
24. 137 86 81
25. 129 81 41
26. 57 41 36
27. 50 36 31
28. 42 31 26
29. 34 26 1
30. 2 1 2
31. 4 2 3
32. 6 3 4

33.	8	4	5	
34.	178	5	111	
35.	180	111	112	
36.	0.00001			
37.	90	85	65	137 138 139 140
38.	23	20.00		
39.	1.0E-09			
40.	400000.	0.	100000.	0.
41.	23	20.00		
42.	1.0E-08			
43.	400000.	0.	100000.	0.

/

//

Obr. 9: Příklad řídích štítků pro krok GO
a zadání dat

L i t e r a t u r a:

- [1] J.Nečas, I.Hlaváček, J.Haslinger: Optimalizace termoelastických systémů. Část I. Výzkumná zpráva Sz 4380 V, Plzeň 1983.
- [2] J.Nečas, I.Hlaváček: Úvod do matematické teorie pružných a pružně plastických těles., SNTL Praha 1983
- [3] J.Nečas: Les méthodes directes en théorie des équations elliptiques. Academia, Prague 1967.
- [4] O.Pironneau: Optimal shape design for elliptic systems.